

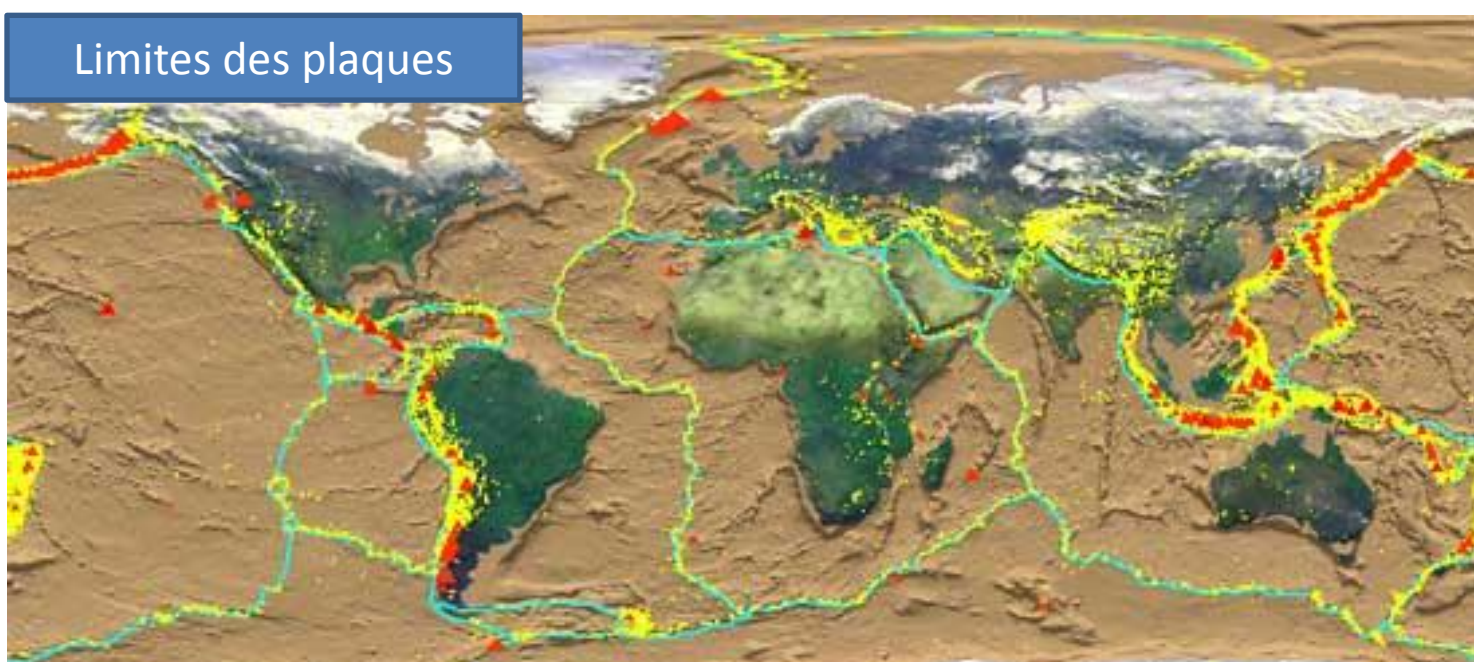
# Quelques processus de la Géomorphologie



Un paysage de l'érosion, de la tectonique et du climat

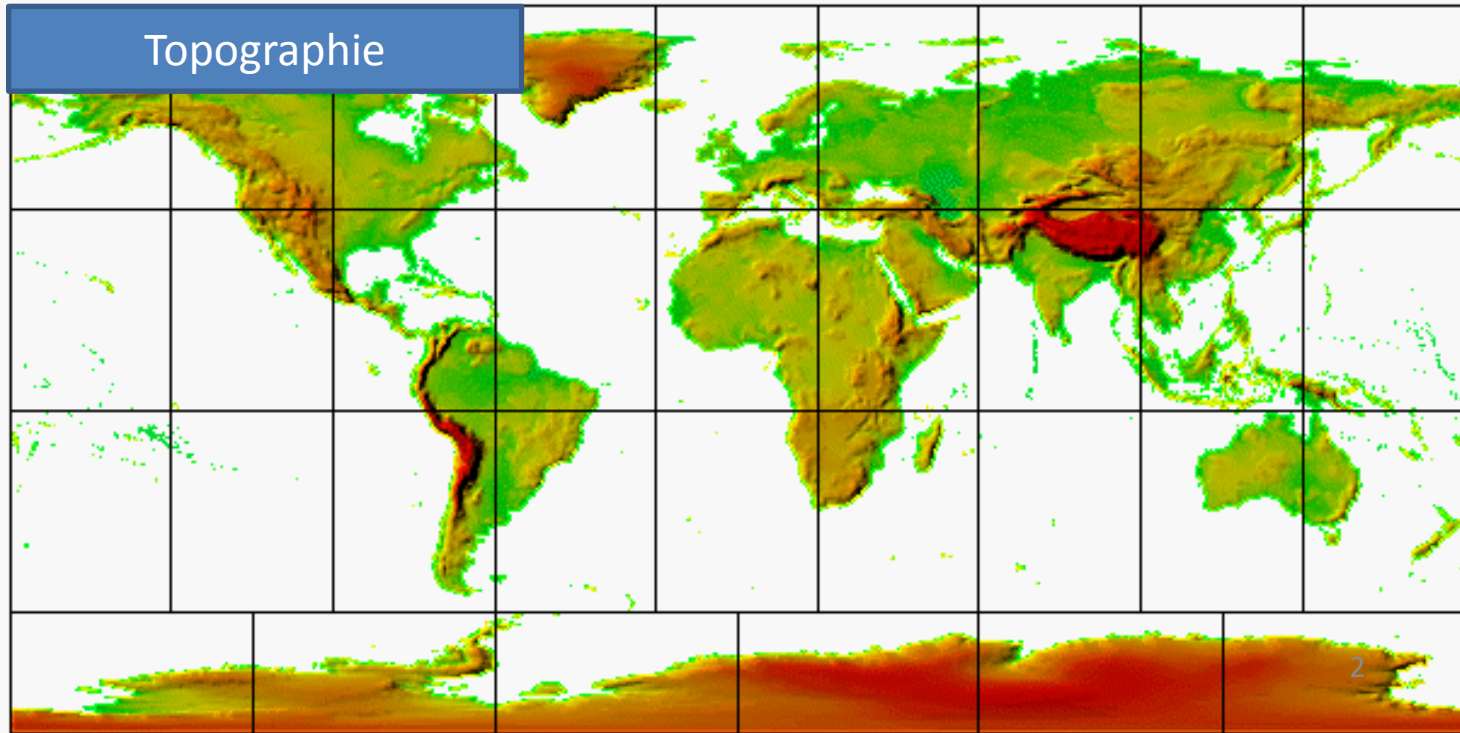
P Allemand

## Limites des plaques



La topographie de la Terre est contrôlée par la tectonique

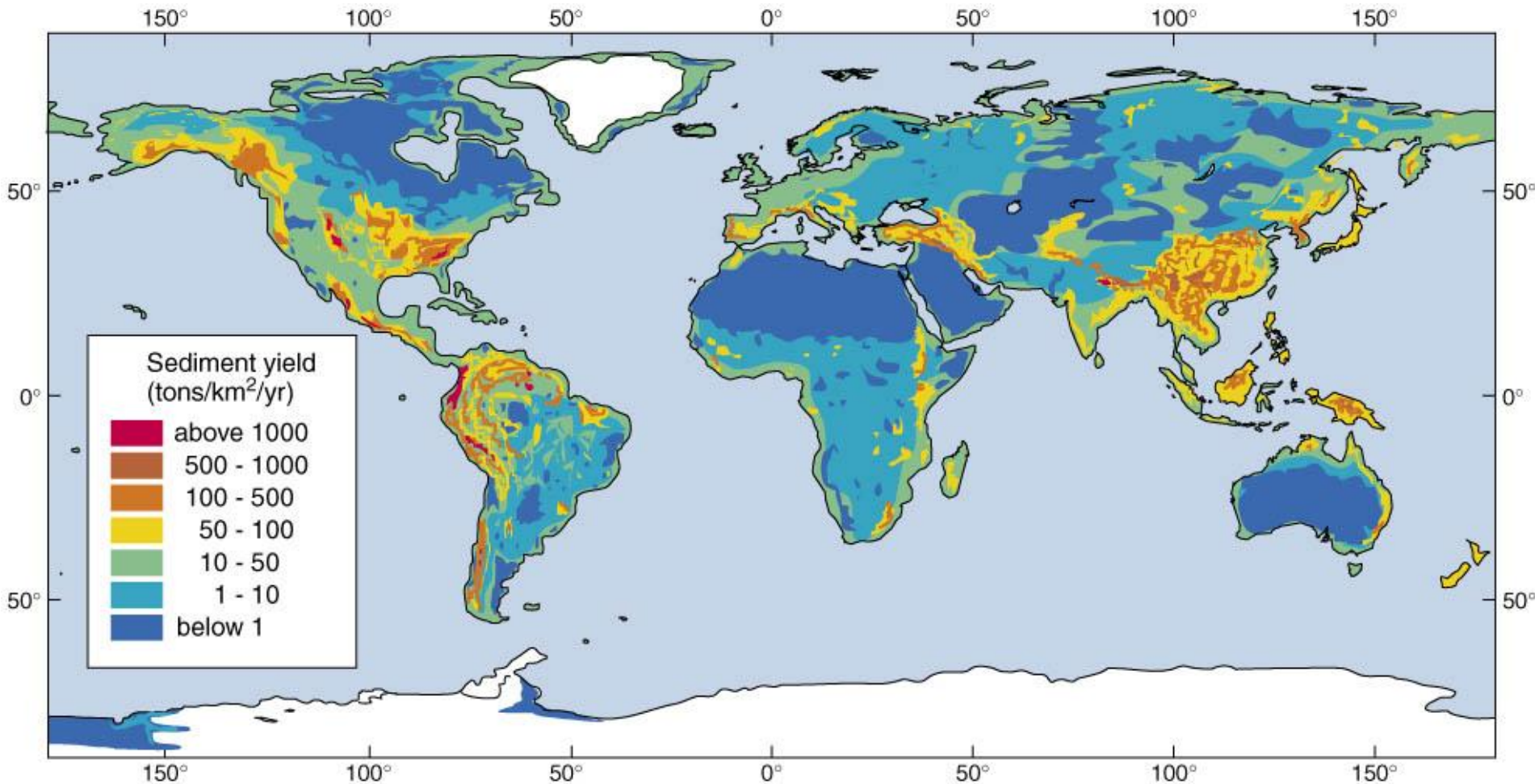
## Topographie



Les chaînes de montagne sont localisées au limites de plaques

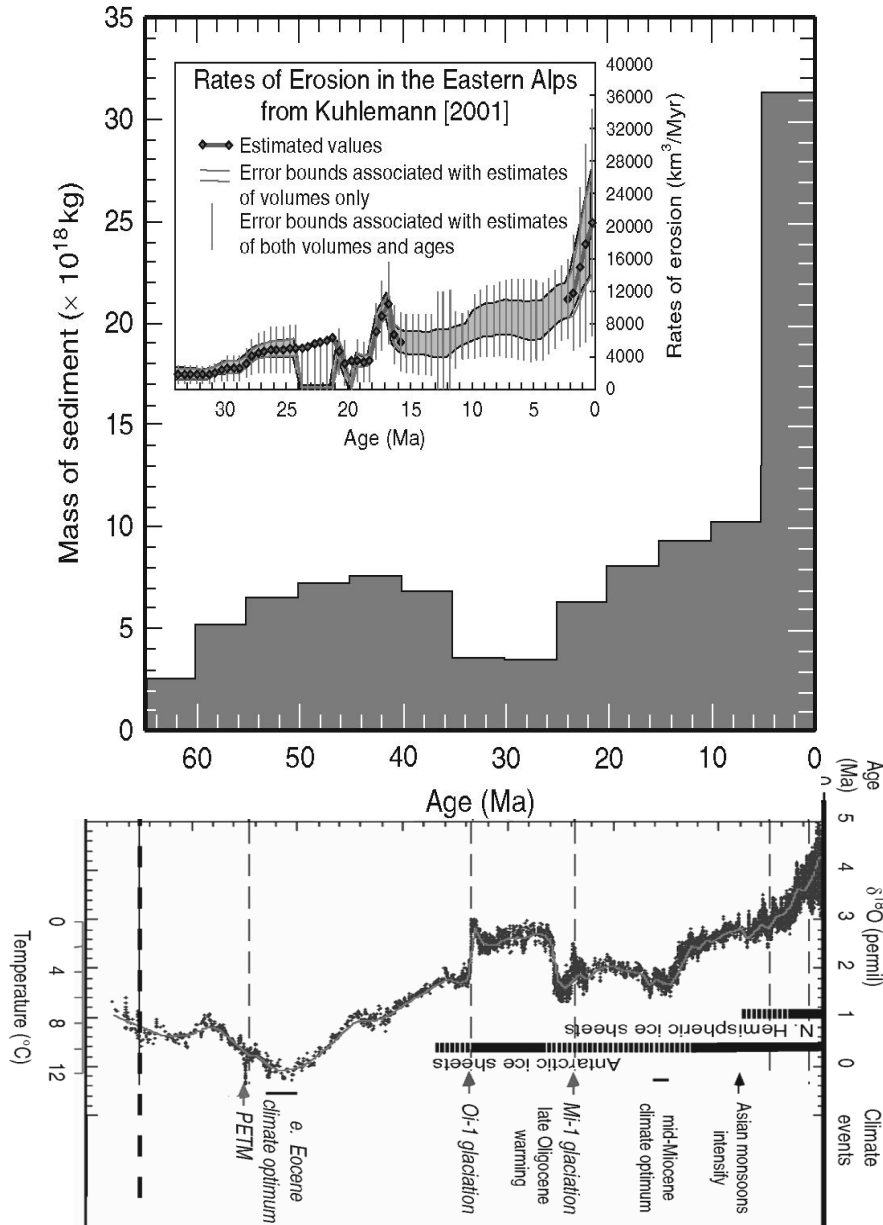
# Production Sédimentaire Actuelle

Les plus forts taux d'érosion se produisent le long des limites de plaques dans les zones de plus fort relief.

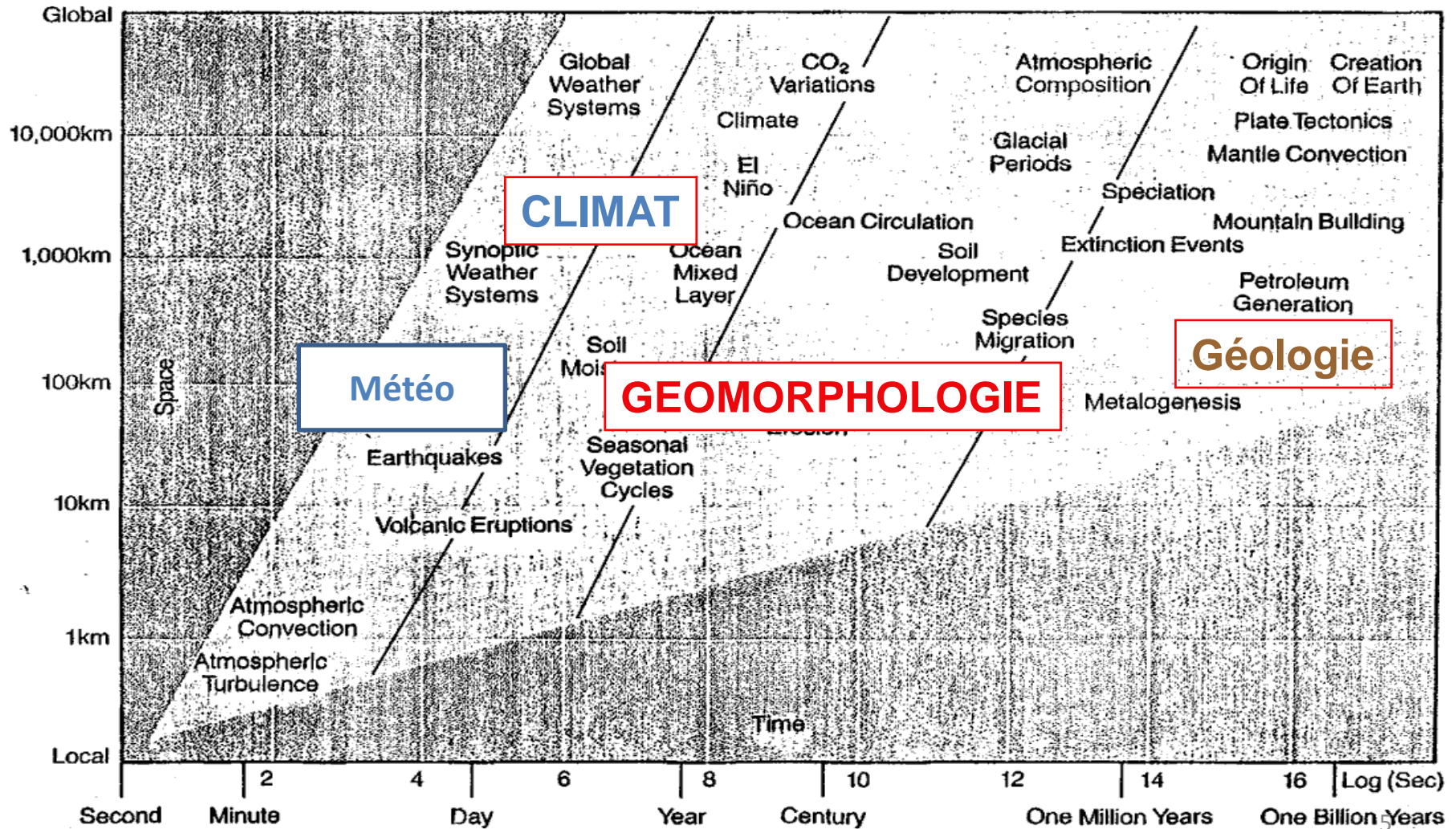


# Les flux sédimentaires fossiles

Rôle du climat



# Temps et espace des processus des sciences de la Terre



## Questions

Quels sont les processus actifs dans l'érosion ?

Quels sont leurs facteurs de contrôle ?

Quels sont les rôles du climat et de la tectonique ?

Peut-on décrire des liens entre érosion – tectonique – climat ?

Sujets non abordés :

Les glaciers, le périglaciaire, la dynamique des rivières, les paysages volcaniques, les paysages désertiques.....;

# Plan de la présentation

- 1) Les processus de la géomorphologie
  - Les processus de versants
  - Les rivières
  - Les couplages
- 2) Les Contrôles externes
  - Le rôle de la Tectonique (grande échelle)
  - Le rôle du Climat
  - Les couplages Climat – Tectonique - Erosion

# Les processus de versants

Erosion de versant

Glissement de terrain

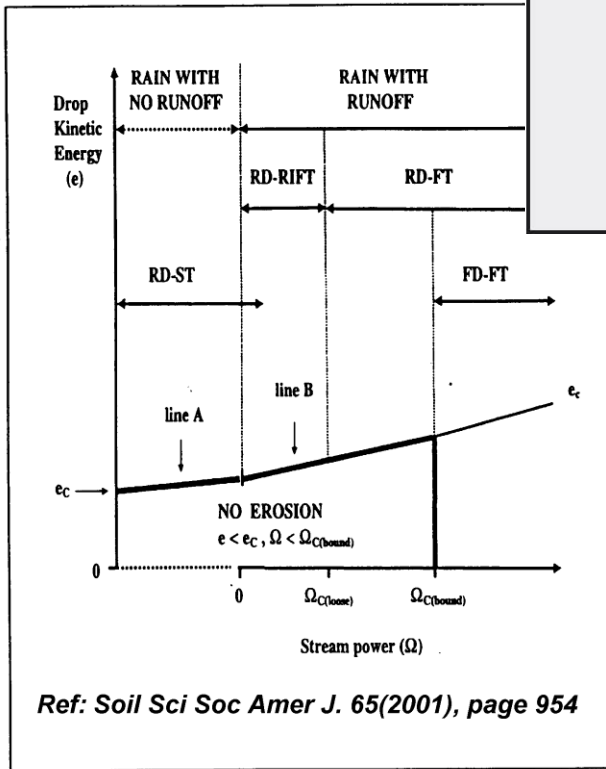
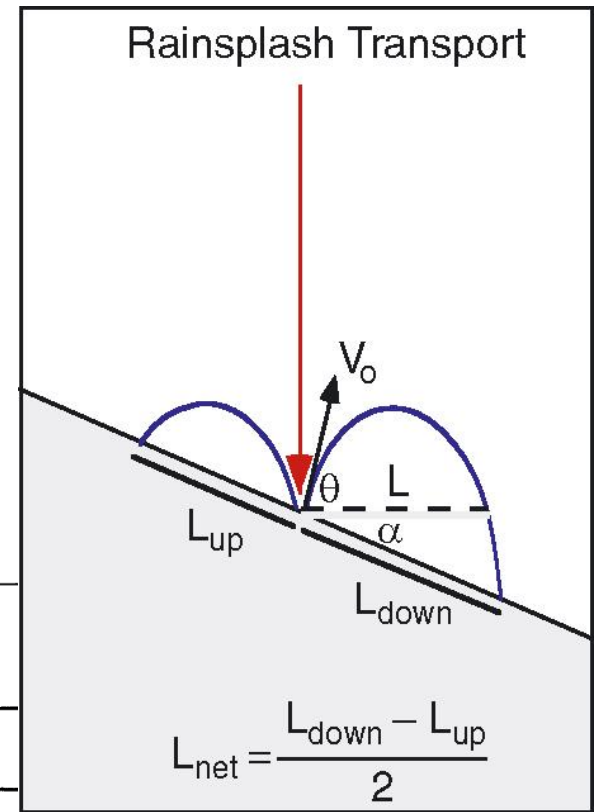
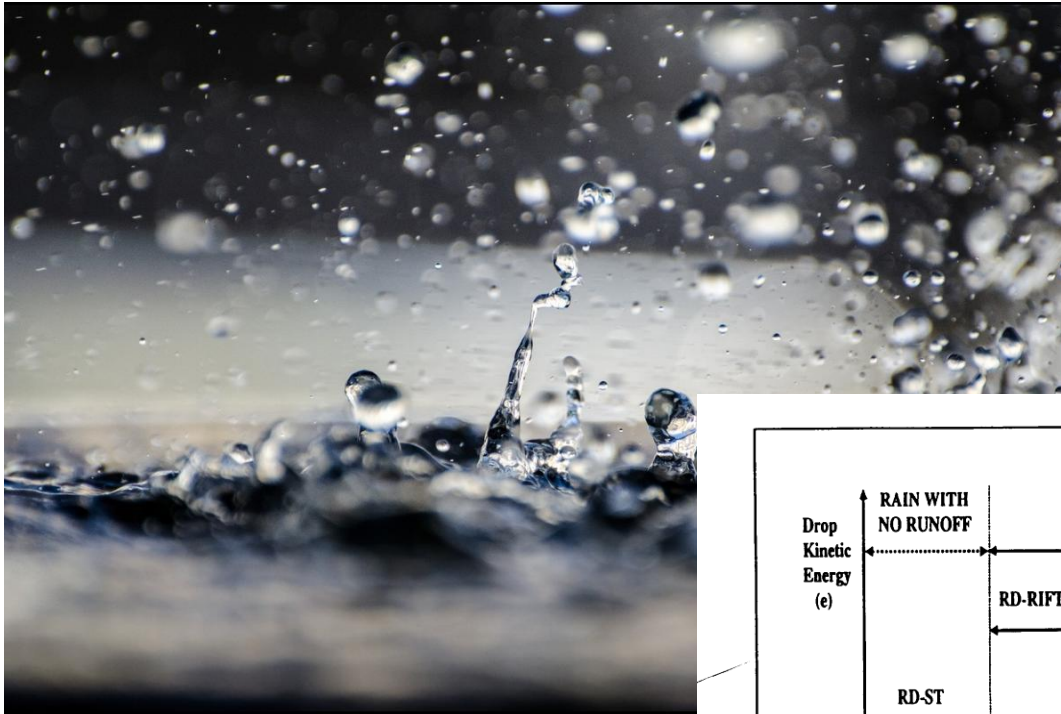


Ile de la Réunion : Rivière des Remparts

Quelques processus de versant : solifluxion, fauchage, fluage de sol



# La pluie



Ref: Soil Sci Soc Amer J. 65(2001), page 954

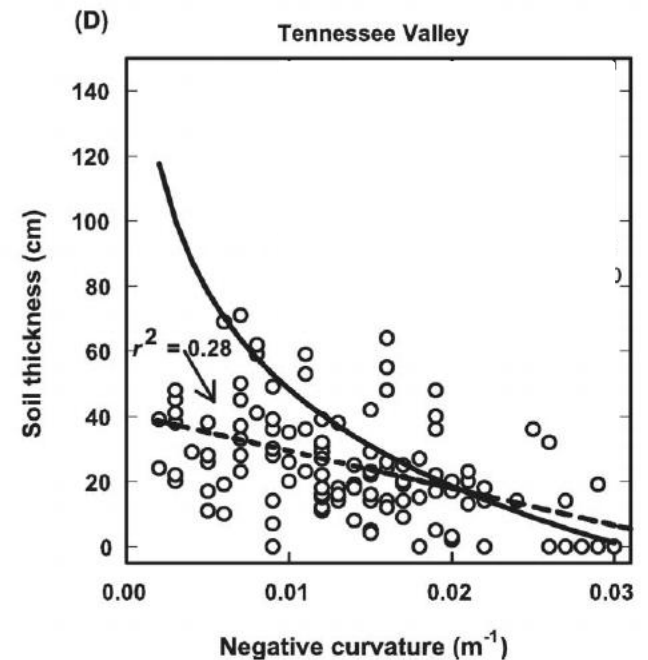
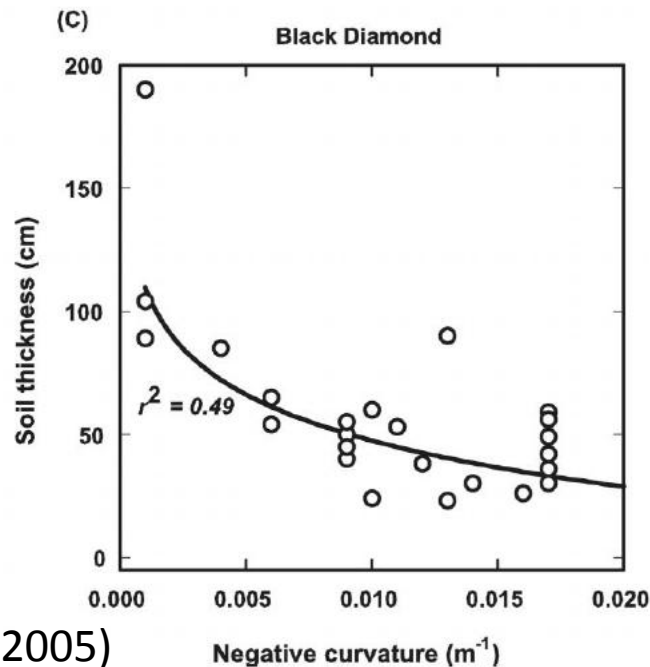
$e_c$  when flow occurs (increasing drop energy used to penetrate flow).  $\Omega_{c(loose)}$  = critical stream power for transporting loose material.  $\Omega_{c(bound)}$  = critical stream power for detaching soil from surface of soil matrix. RD - ST = raindrop detachment, splash transport. RD - RIFT = raindrop detachment, raindrop induced flow transport. RD - FT = raindrop detachment, flow transport. FD - FT = flow detachment, flow transport

# Le rôle de la vie

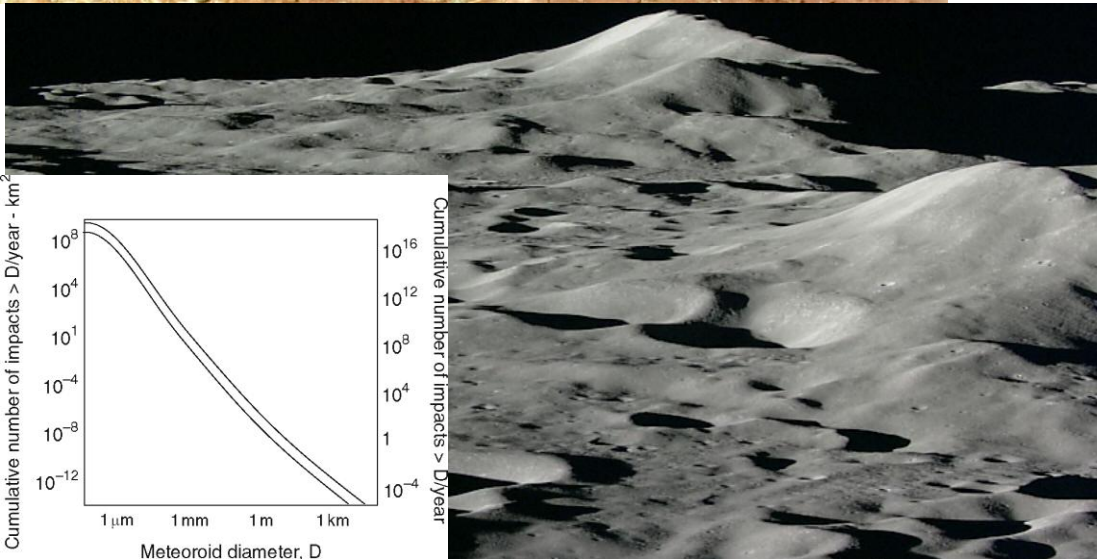
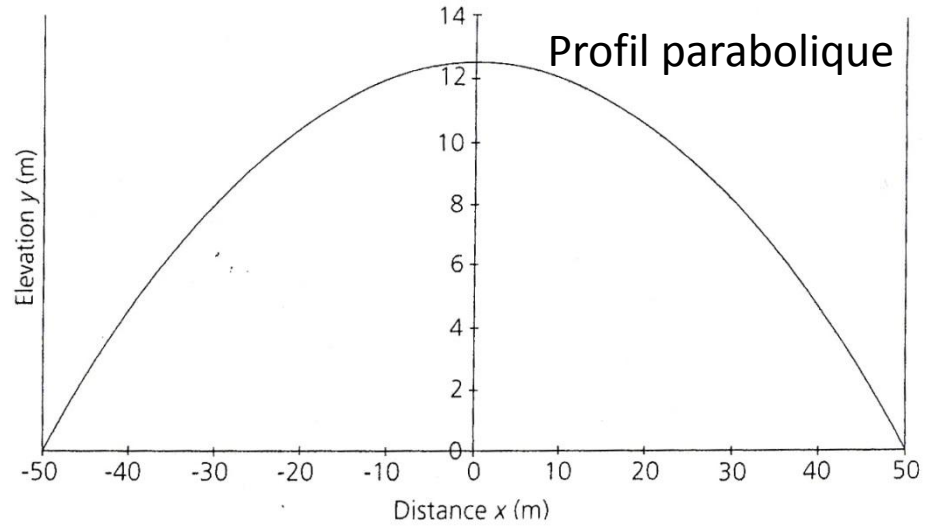


L'épaisseur des sols en pente diminue en présence de marmottes.

(Yoo et al., 2005)



# Bilan : la diffusion

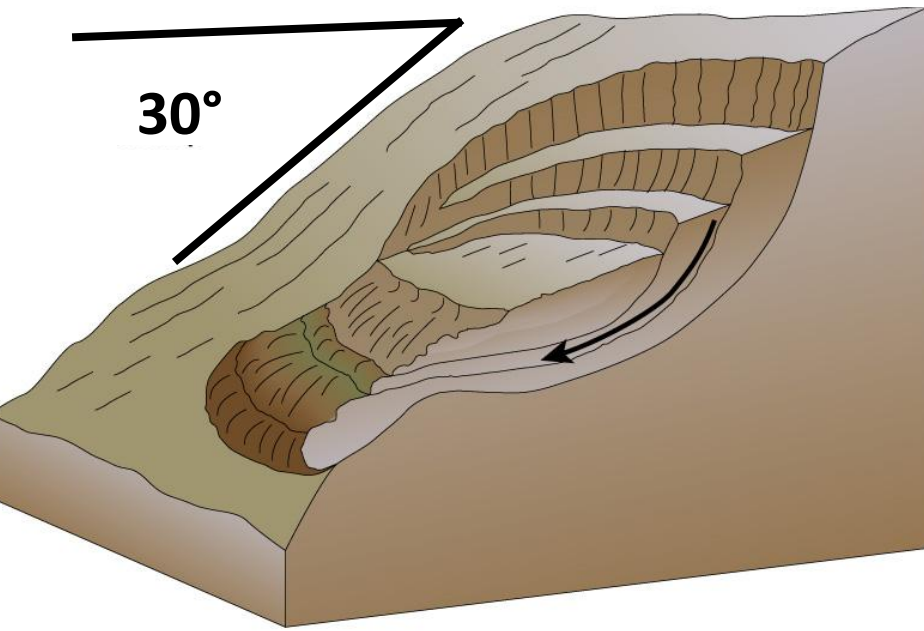
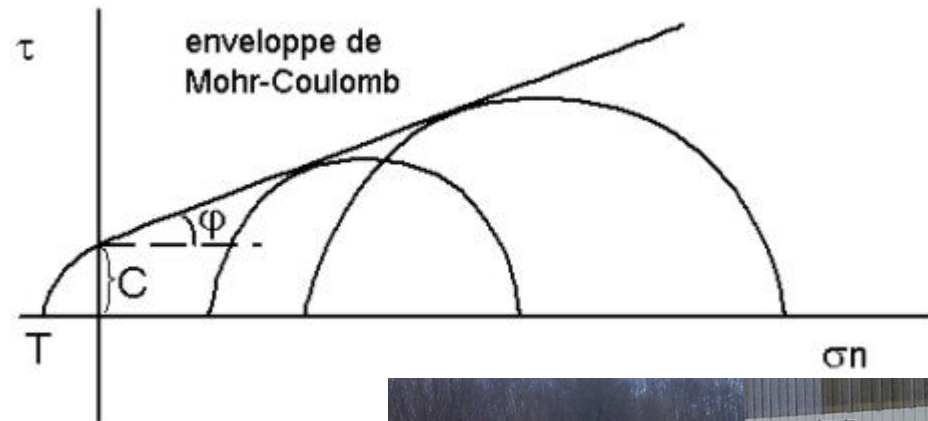


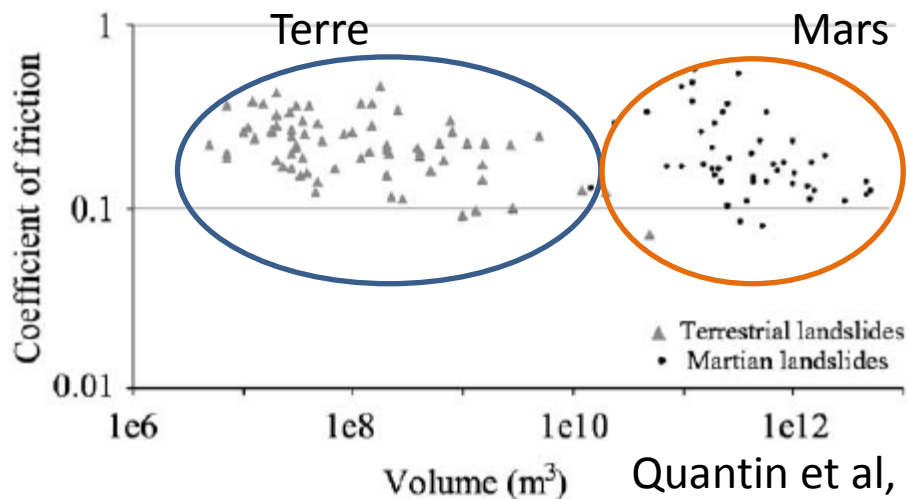
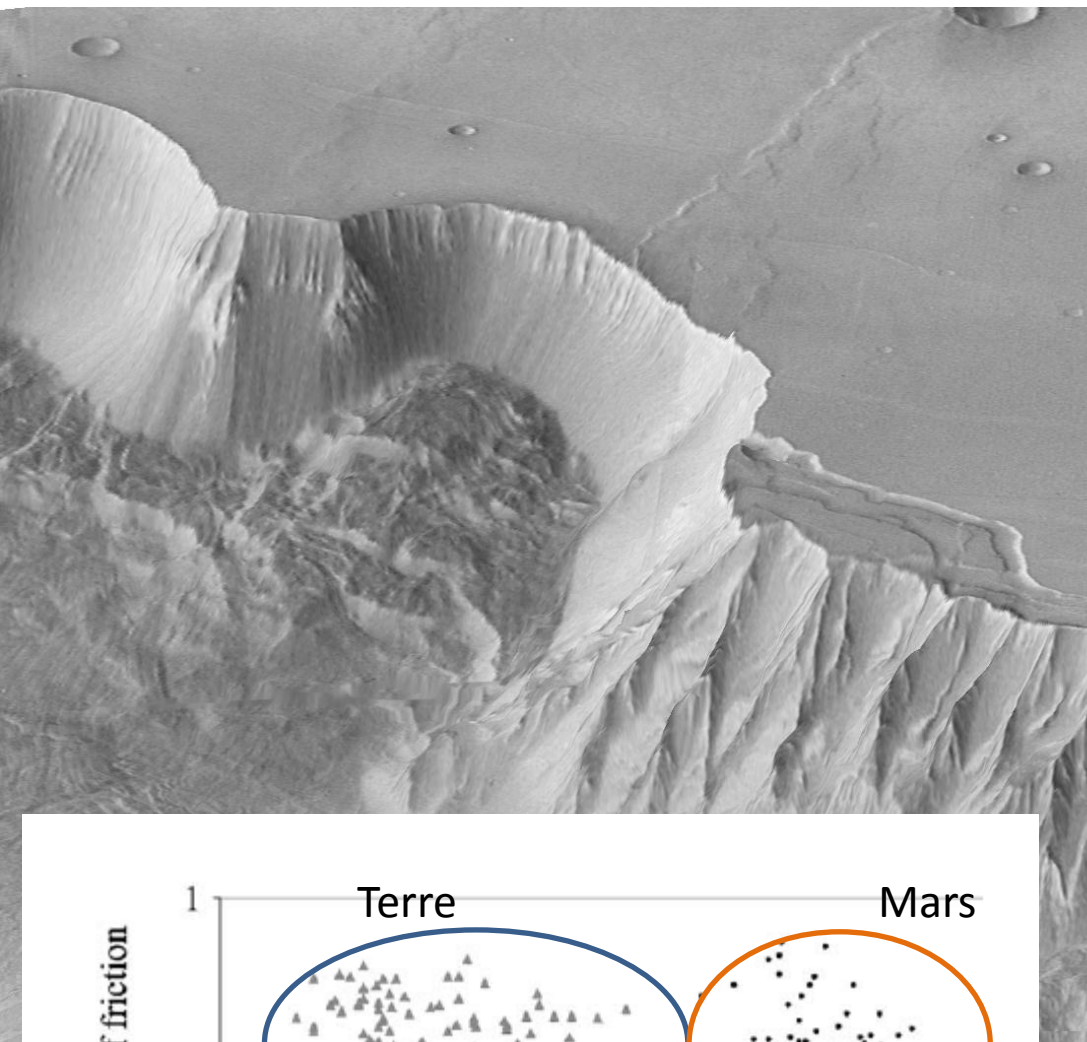
Glissements  
de terrain.

Ex : la  
Clapière,  
vallée de la  
Tinée entre  
1974 et  
1999

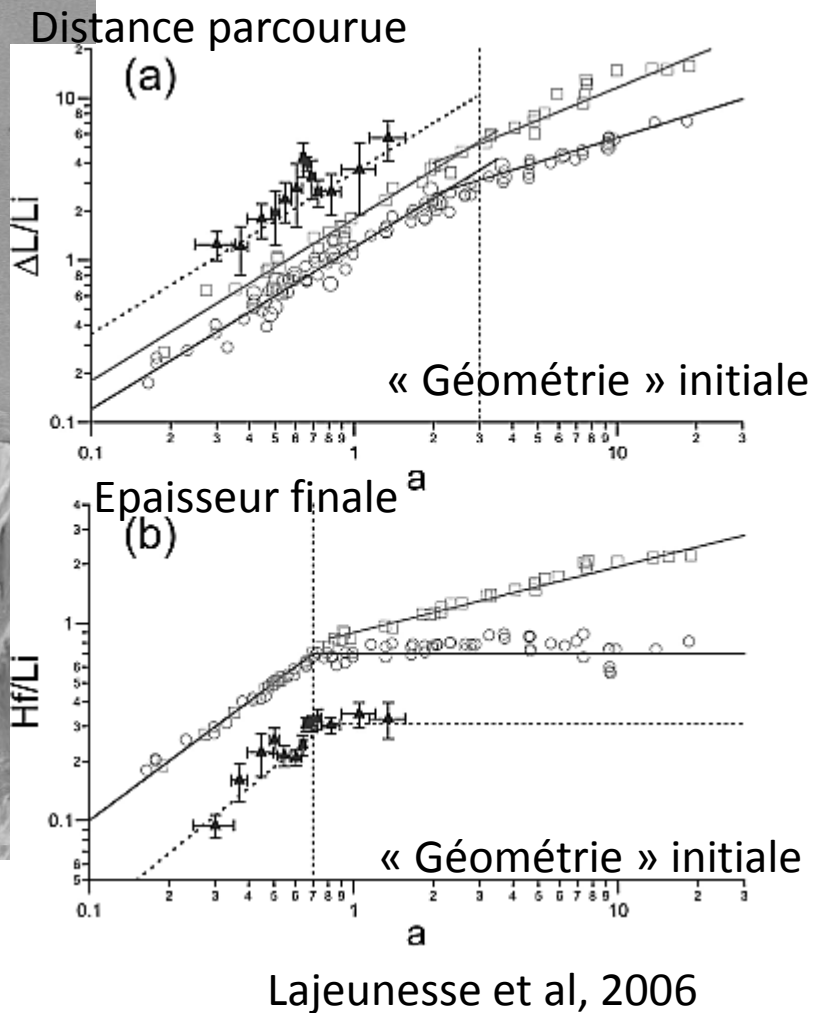


# Glissements de terrain





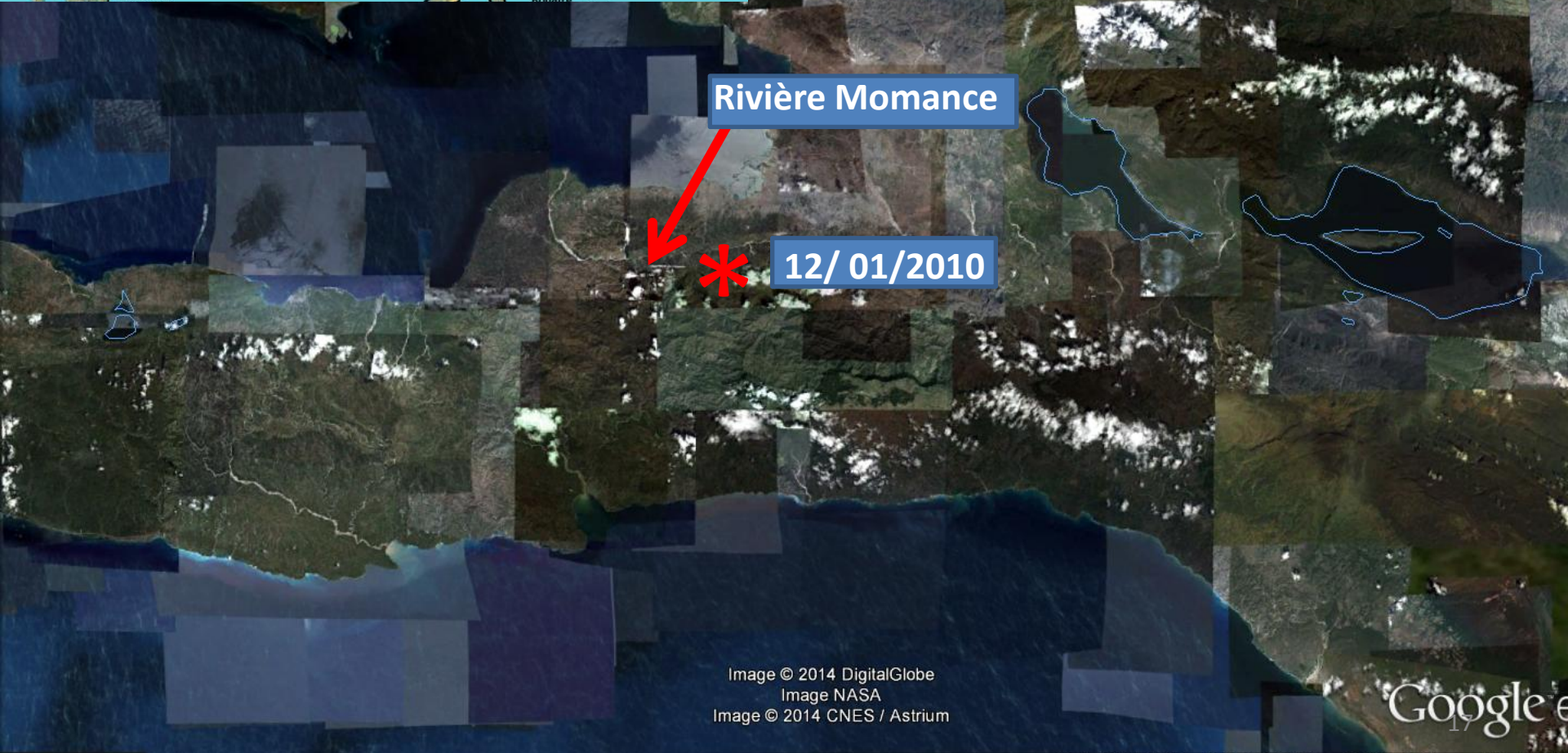
Quantin et al, 2004







# Facteurs déclencheurs



Rivière Momance

12/ 01/2010

Image © 2014 DigitalGlobe  
Image NASA  
Image © 2014 CNES / Astrium

Google e

4/2/2009

4/02/2009

Image © 2014 DigitalGlobe

Google e  
18

13/1/2010

13/01/2010

Les séismes sont déclencheurs de  
glissements de terrain

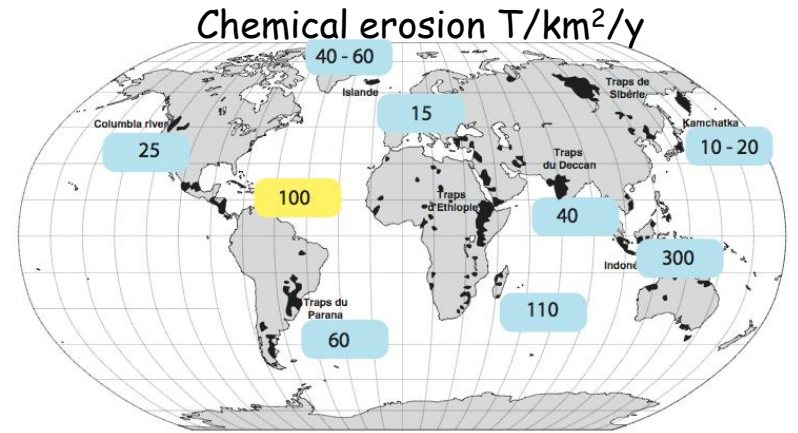
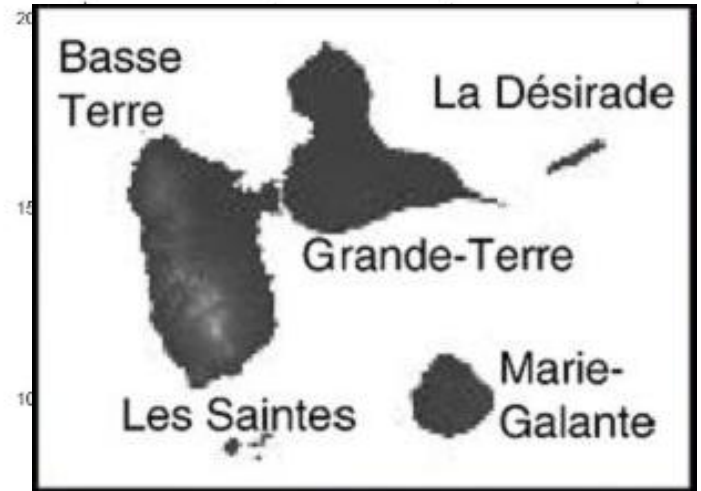
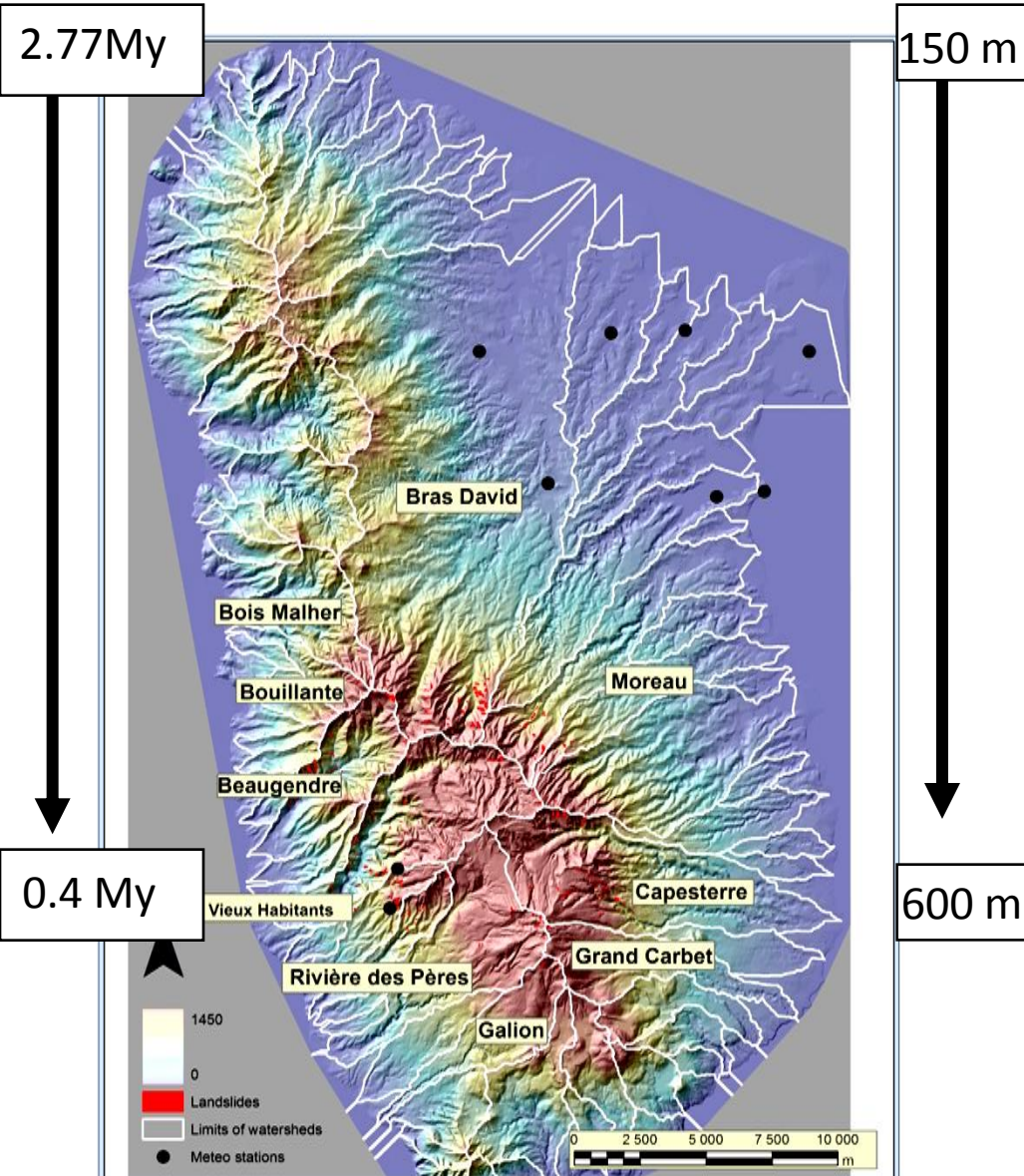
Image © 2014 DigitalGlobe

Google e

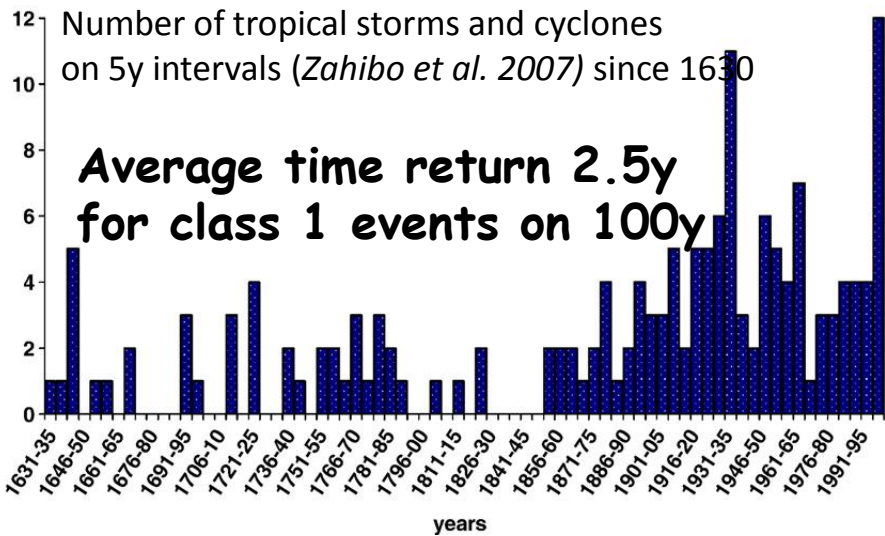
# Context : Basse Terre Island in Guadeloupe archipelago

Age Gradient  
(Samper et al., 2007)

Topographic Gradient

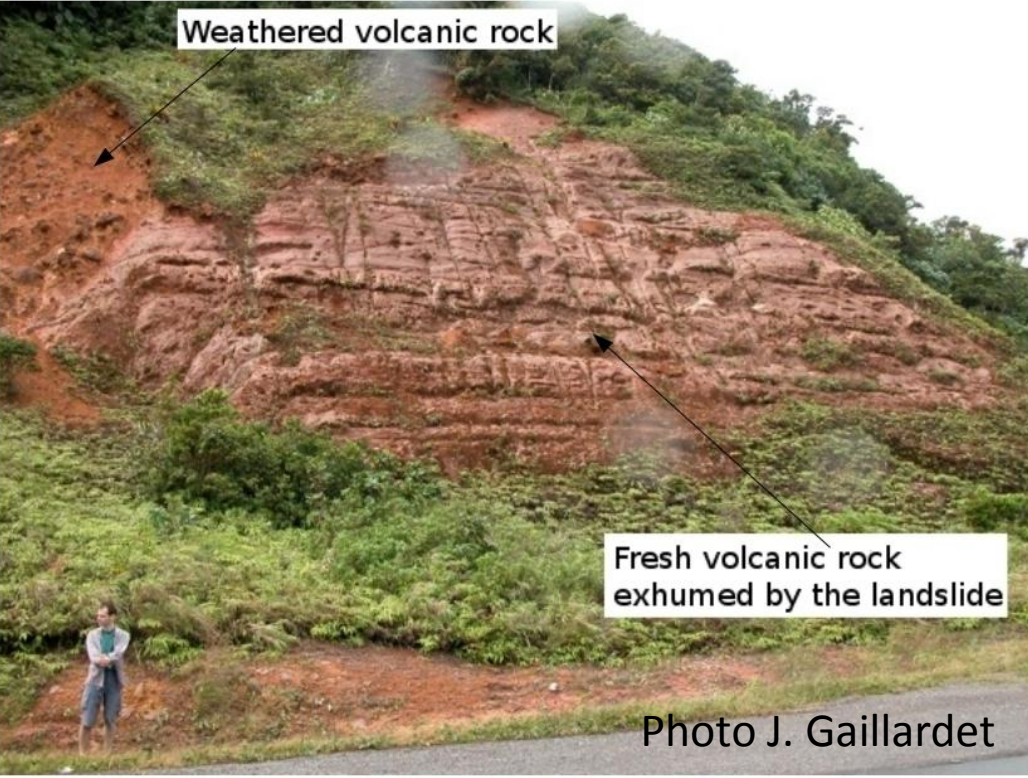


Total denudation rate  
150 à 800  $mm.ky^{-1}$   
(from Summerfield et al., 1994)



Thickness of landslides : ~1 m





Weathered volcanic rock

Fresh volcanic rock  
exhumed by the landslide

Photo J. Gaillardet



□ Coupe de sol au pt 162



1m

2008.01.15

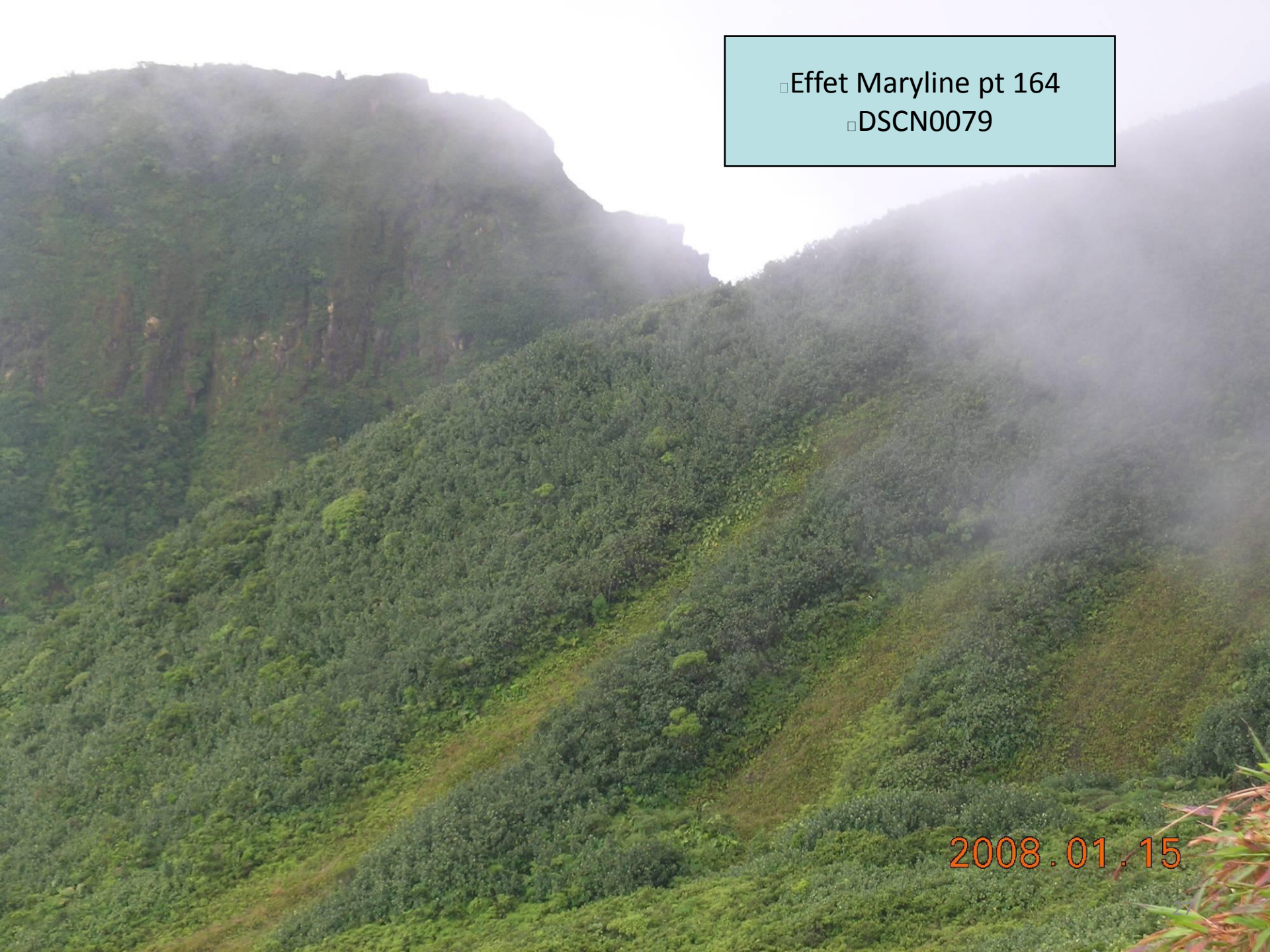
□ Glissement de 2004 gps 163  
□ DSCN0075



2008.01.15



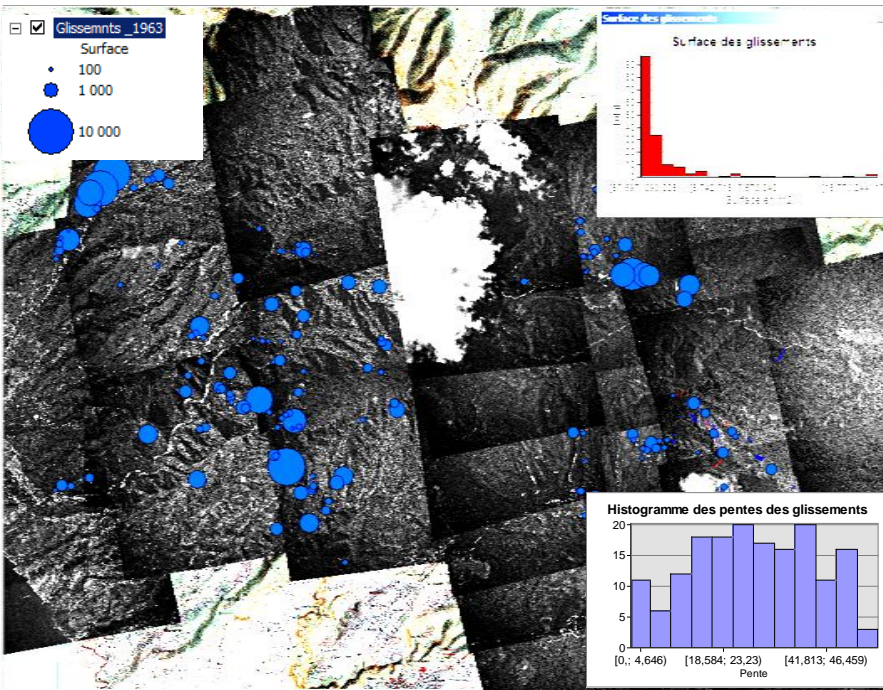
2008.01.15



□ Effet Maryline pt 164  
□ DSCN0079

2008.01.15

# Data and Methods



GIS with DEM + aerial images + rainfall

Map of landslides produced by 3 extrem events which occurred few weeks before a aerial campaign of image acquisition by IGN

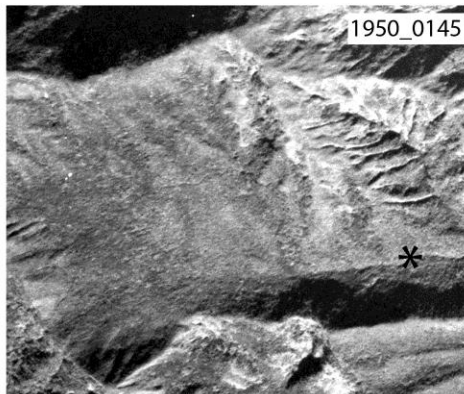
Surface of Landslides -> Transported Volume

Slope of Landslides

7 y. before Helena

2 months after Helena

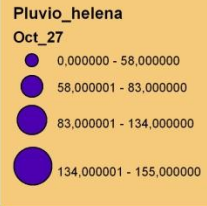
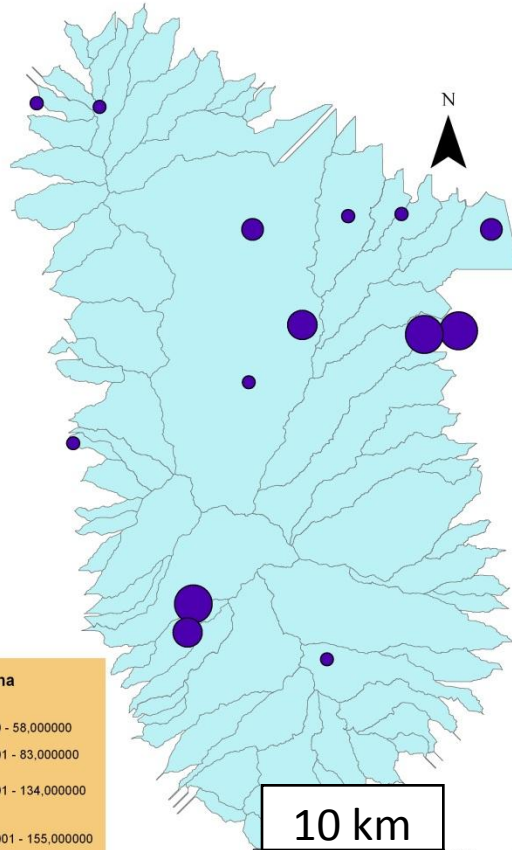
6 y. after Helena



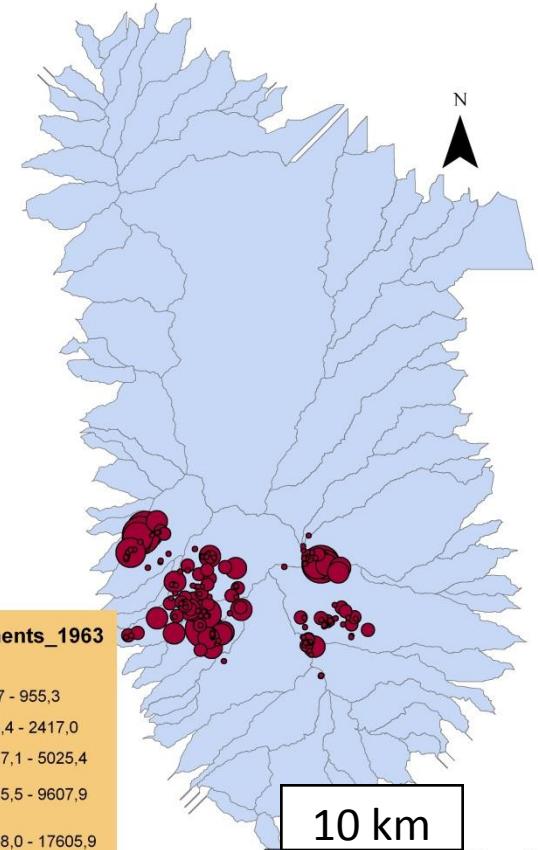
# Storm Helena : October 1963



Rainfall : 150 mm/day

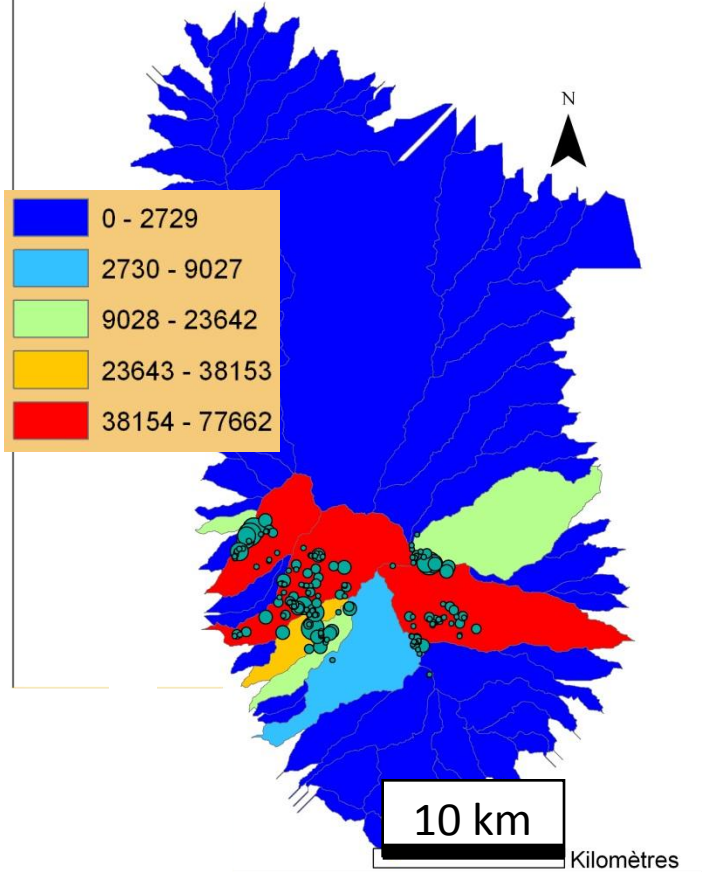


Landslides : 400 000m<sup>2</sup>

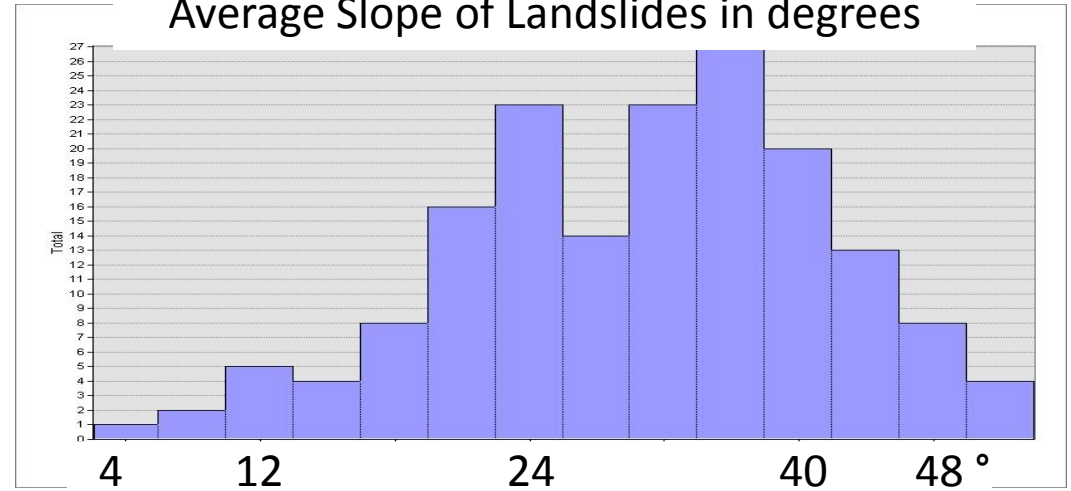


# Storm Helena : October 1963

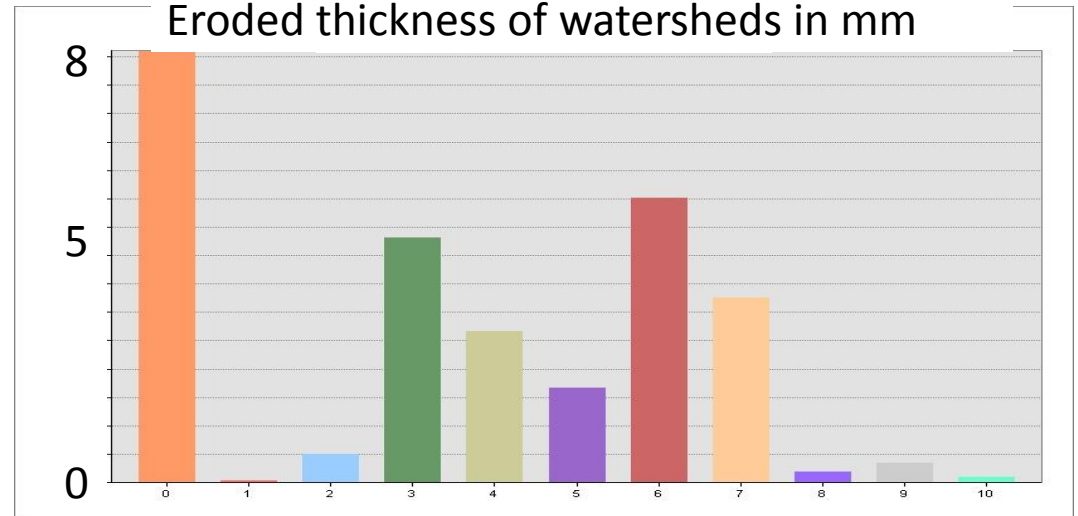
Cumulated surface of landslides in m<sup>2</sup> by watershed



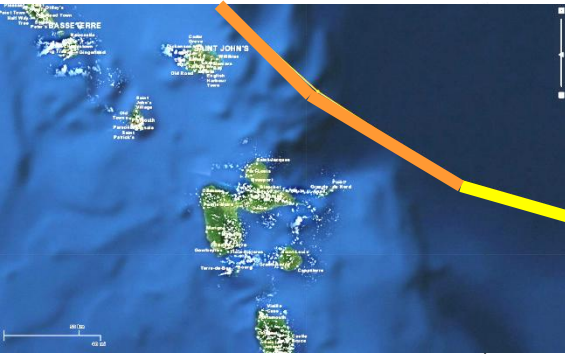
Average Slope of Landslides in degrees



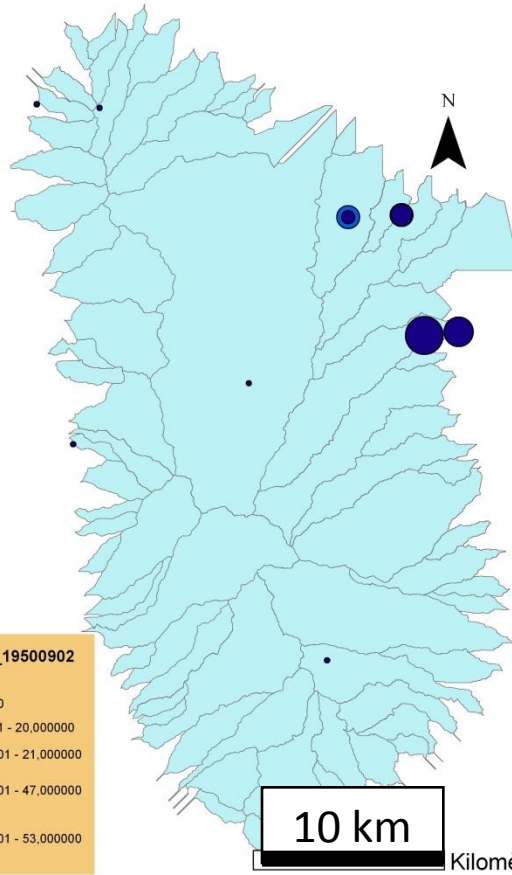
Eroded thickness of watersheds in mm



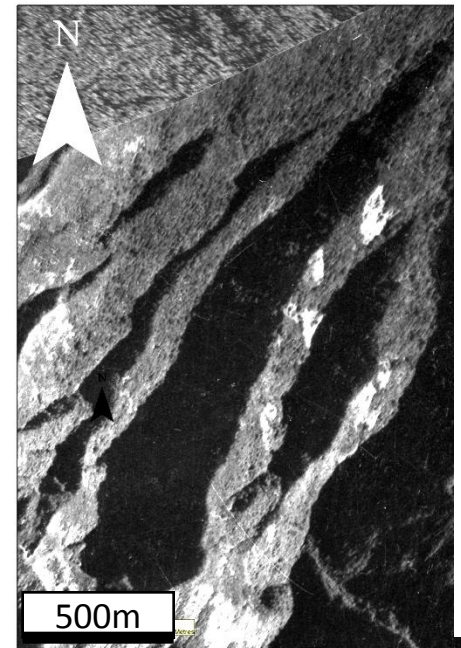
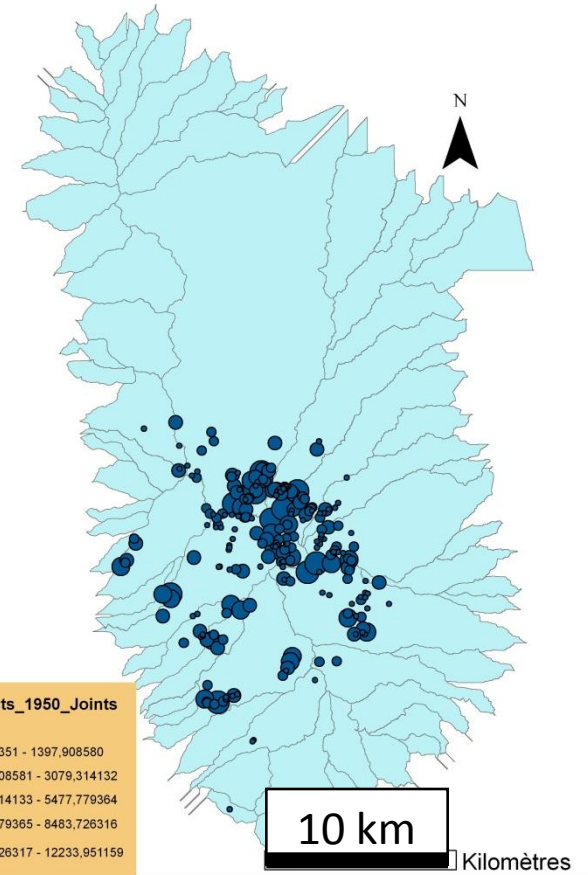
# Cyclone DOG September 1950



Rainfall : 50 mm/day



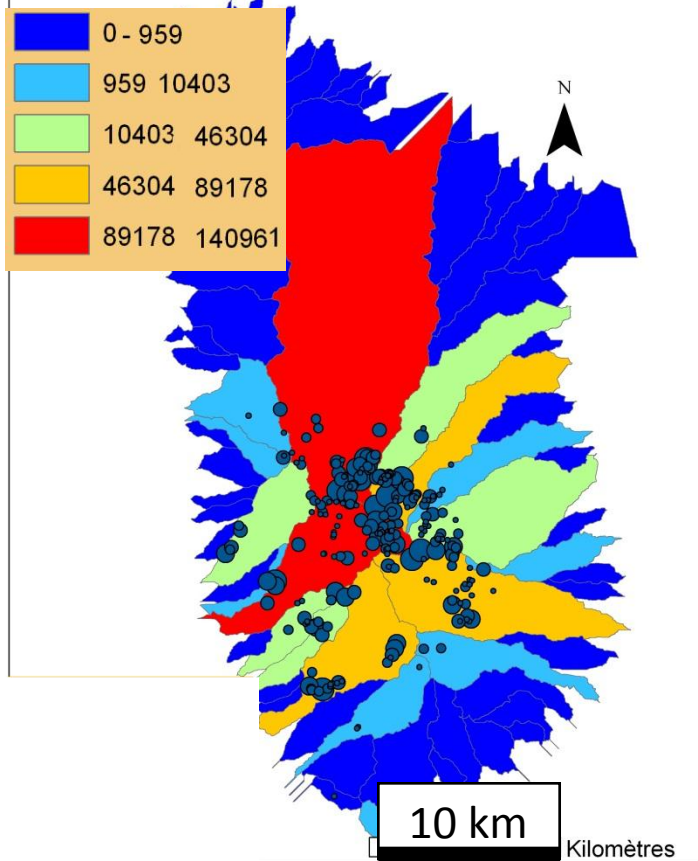
Landslides : 300 000m<sup>2</sup>



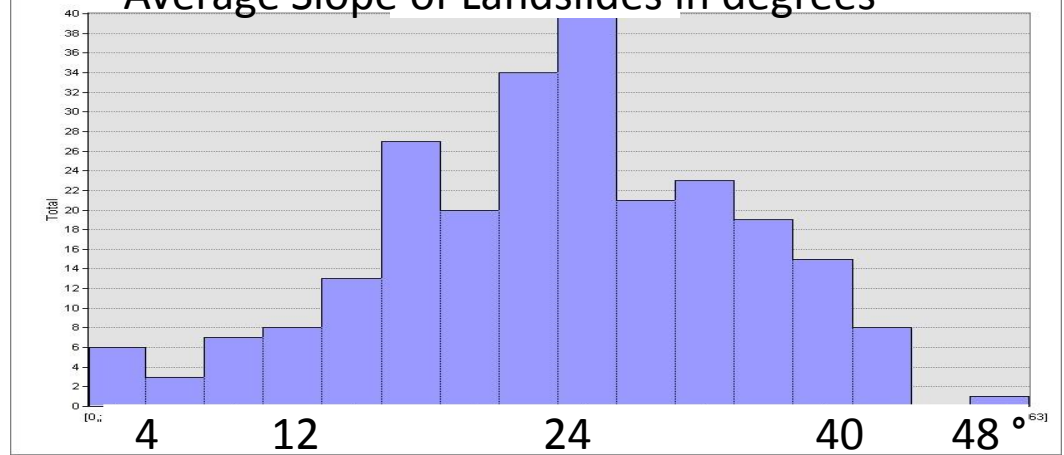
IGN December 51

# Cyclone DOG : Septembre 1950

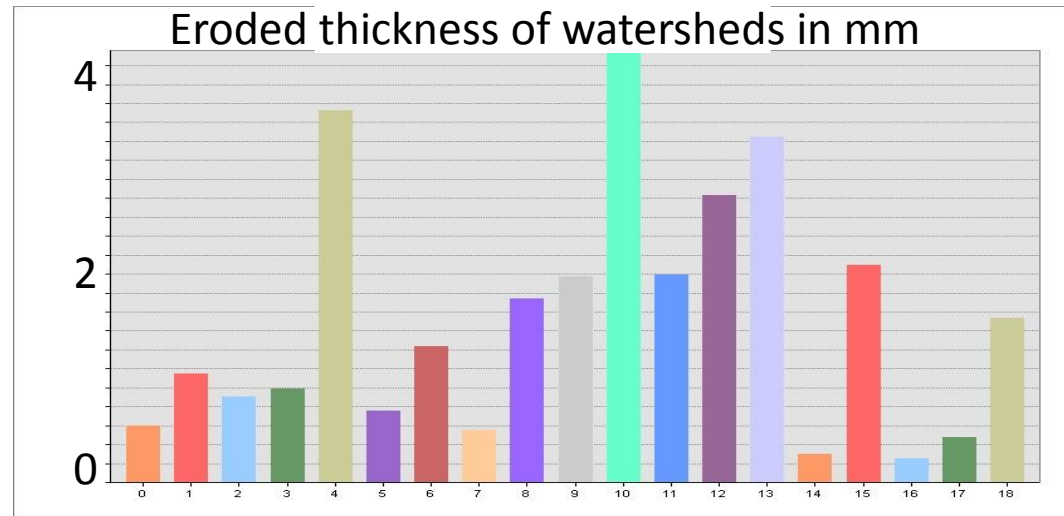
Cumulated surface of landslides in m<sup>2</sup> by watershed



Average Slope of Landslides in degrees



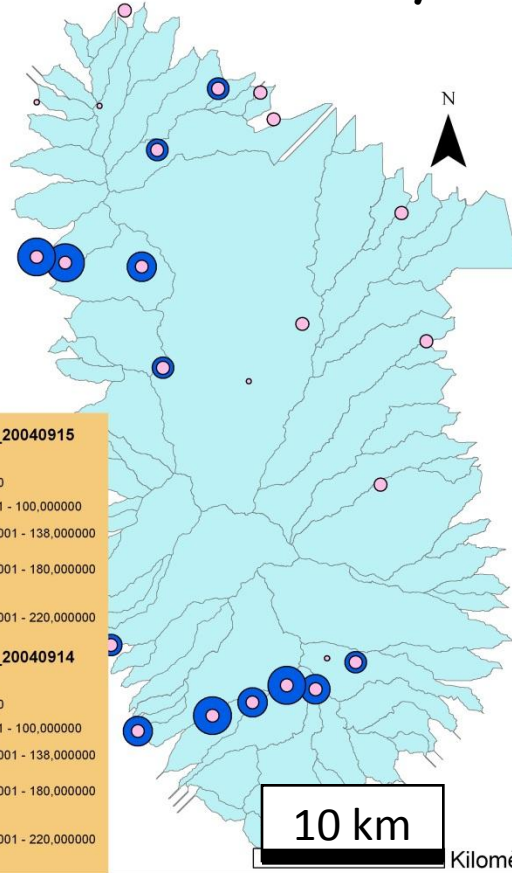
Eroded thickness of watersheds in mm



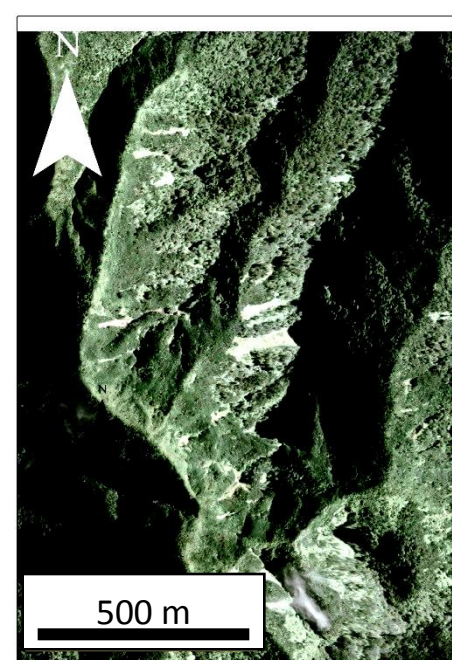
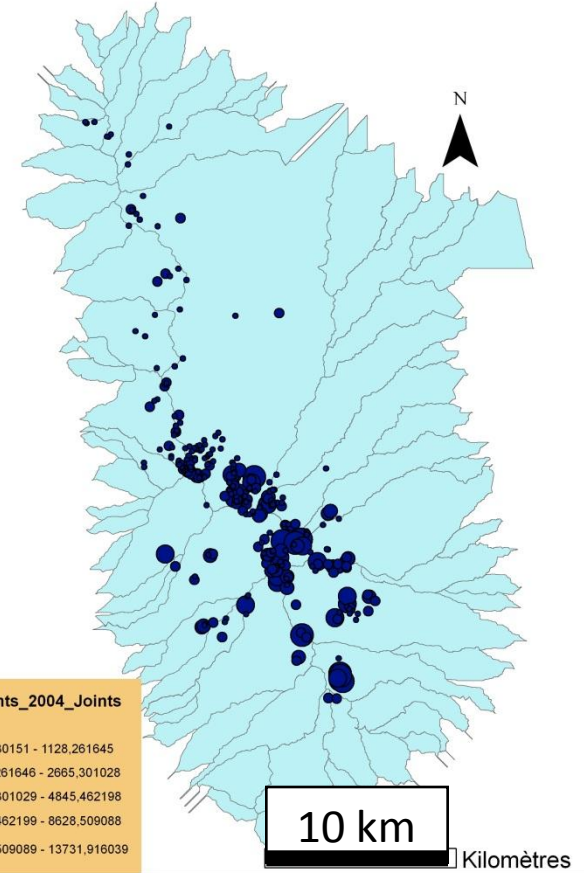
# Storm Jeanne : September 2004



Rainfall : more than 300 mm in one day

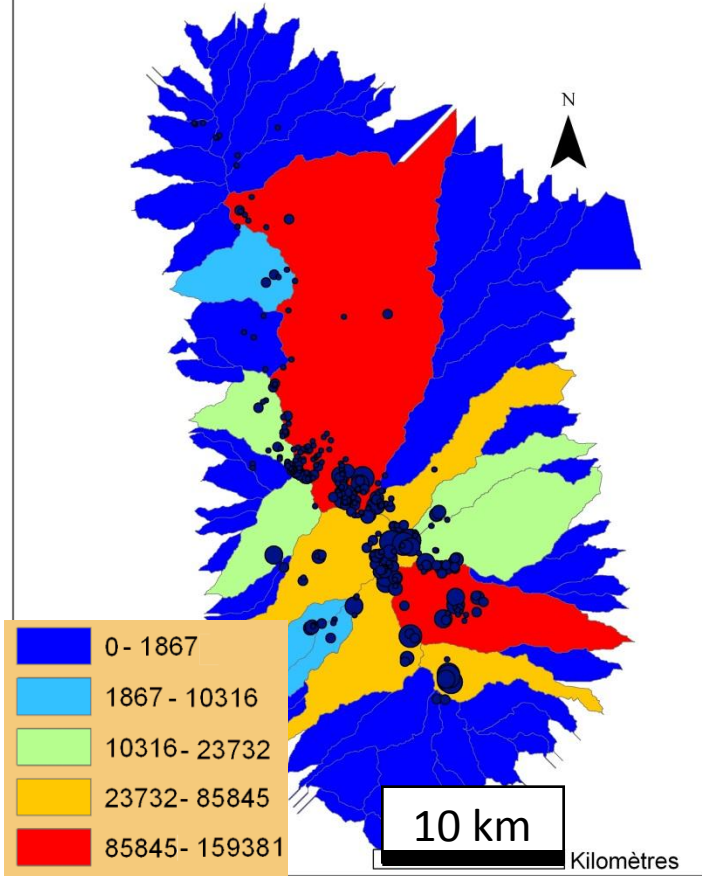


Landslides : 350 000m<sup>2</sup>

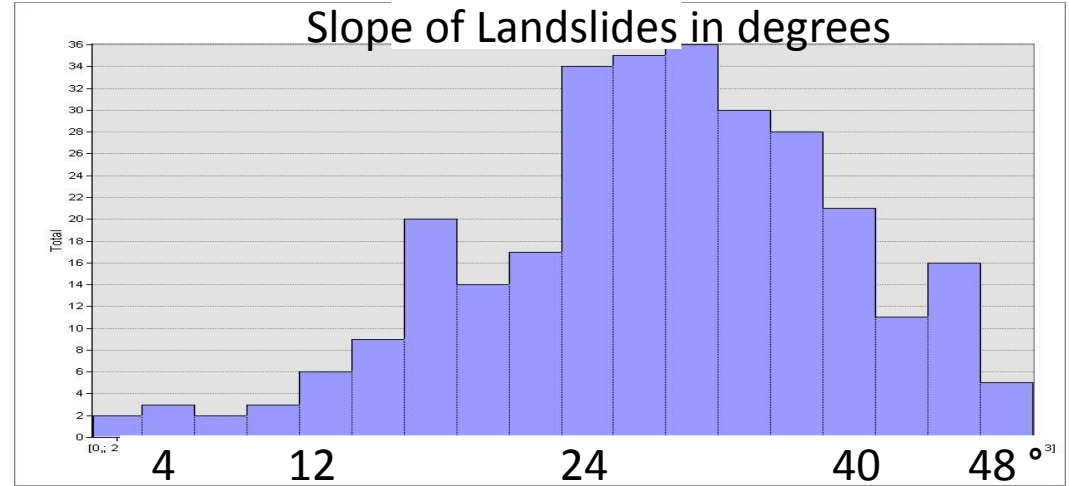


# Storm Jeanne : September 2004

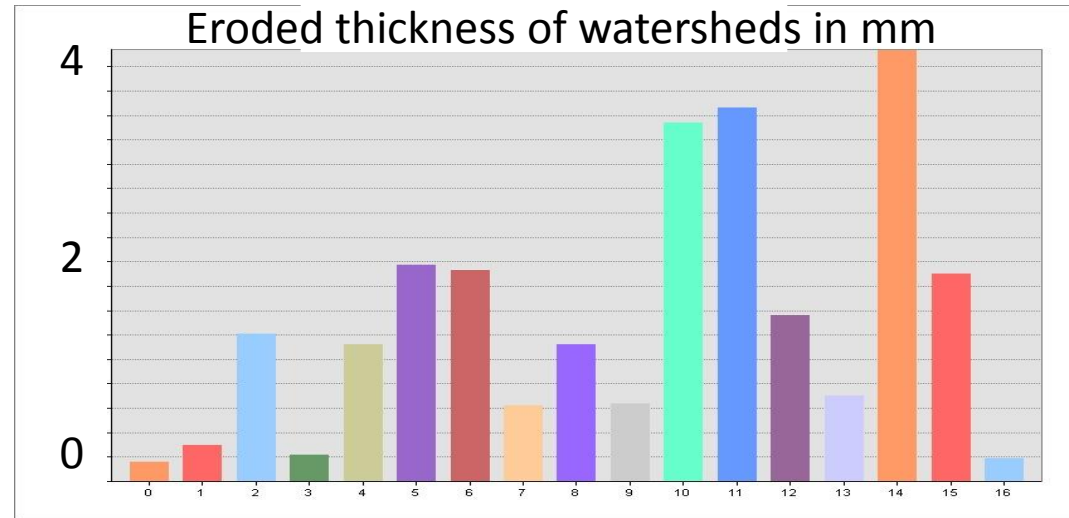
Cumulated surface of landslides in m<sup>2</sup> by watershed



Slope of Landslides in degrees



Eroded thickness of watersheds in mm



# Le transport par « beau temps »

## Service d'Observation Observatoire de l'Erosion aux Antilles

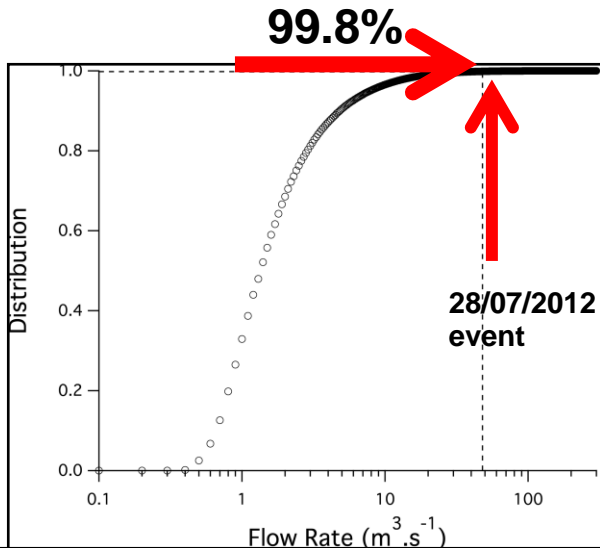


### Station de Capesterre



- 1 préleveur automatique
- 1 conductivimètre
- 2 turbidimètres
- 1 lisst (mes)
- 3 capteurs de pression
- 1 station météorologique
- lysimètres

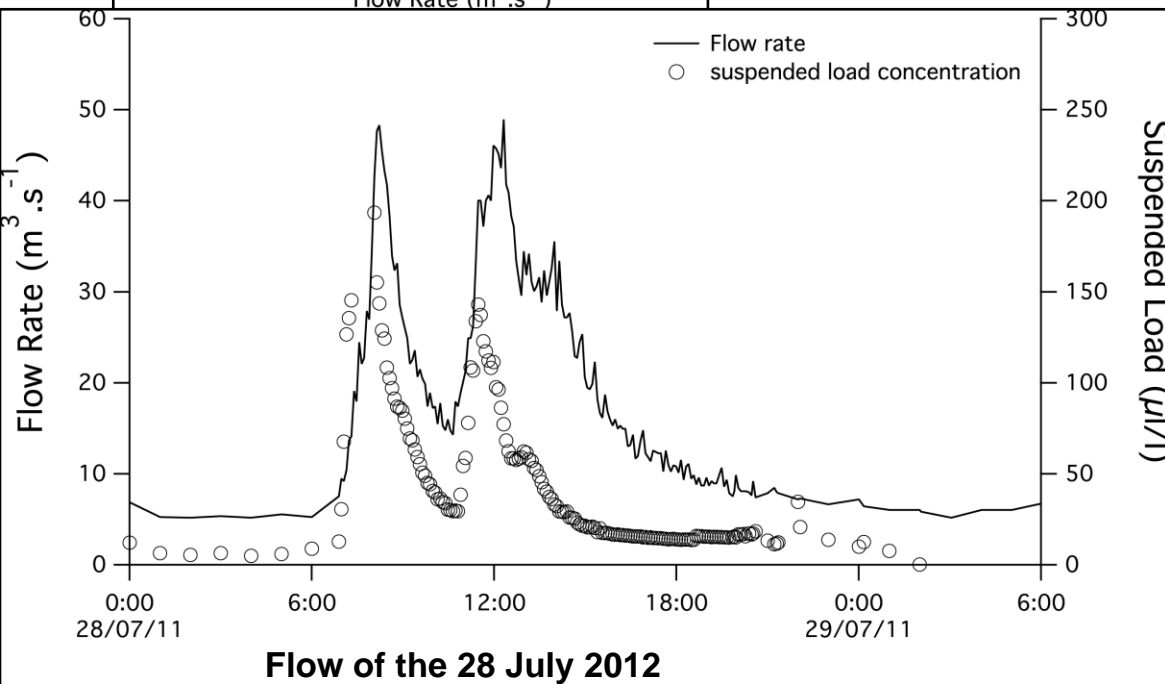
# Le transport par « beau temps »



Cumulative distribution of flows from 1983 to 2011



LISST installed on Capesterre River



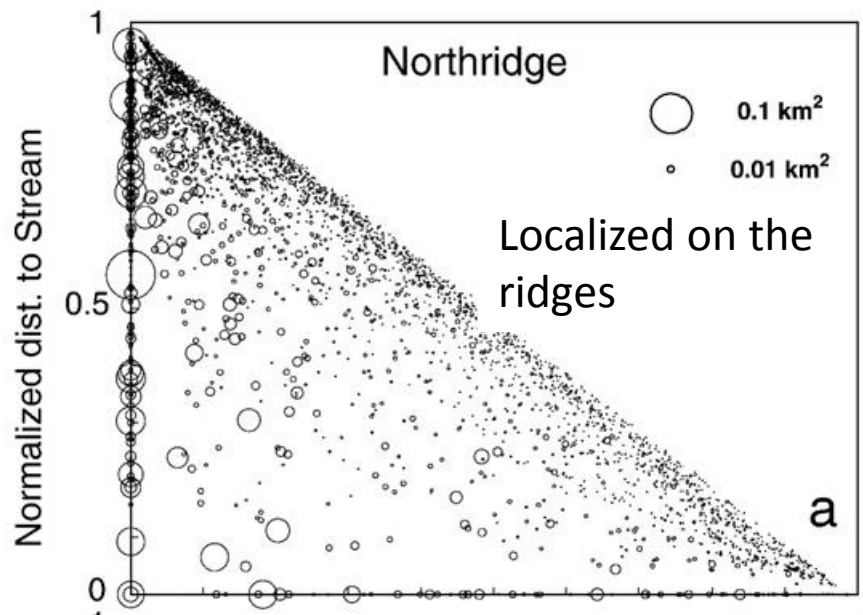
205 Tons exported during this event ->  $76 \text{ m}^3$  of material -> 0.005mm of denudation

100 times lower than Helena

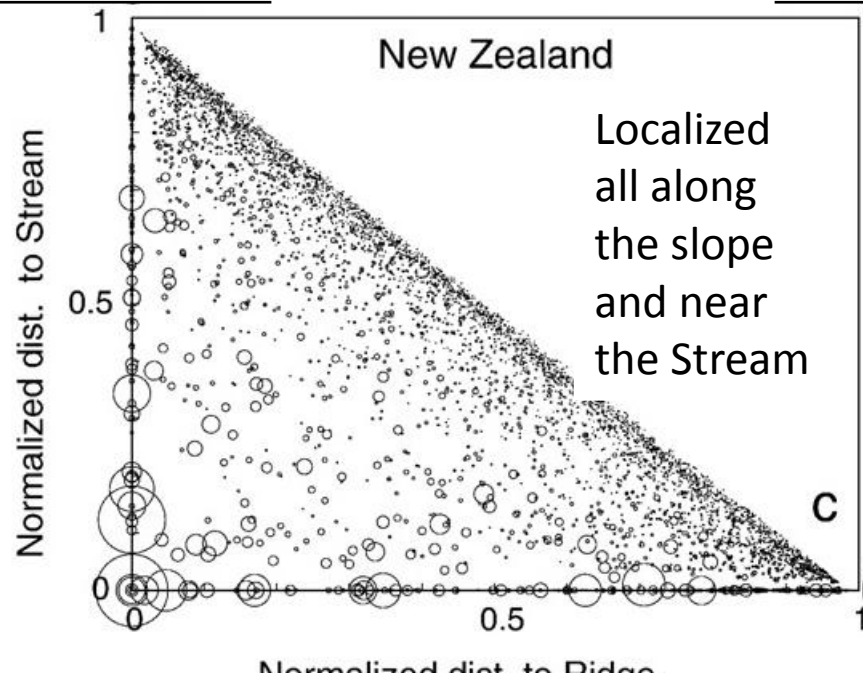
# Résultats et Conséquences

- Les évènements météorologiques extrêmes ont produit un maximum de glissements de terrain dans les zones à fort relief, dans le centre de l'île
- La surface cumulée et le volume sédimentaire déplacé sont compris entre  $3 \cdot 10^5$  to  $4 \cdot 10^5$  m<sup>2</sup> et  $3 \cdot 10^5$  to  $4 \cdot 10^5$  m<sup>3</sup> pour chaque évènement.
- La dénudation peut atteindre 5 mm pour les bassins versants les plus érodés.
- Rapportée à la surface de Basse Terre, la dénudation moyenne de l'île peut atteindre 0.5 mm pour un évènement extrême.

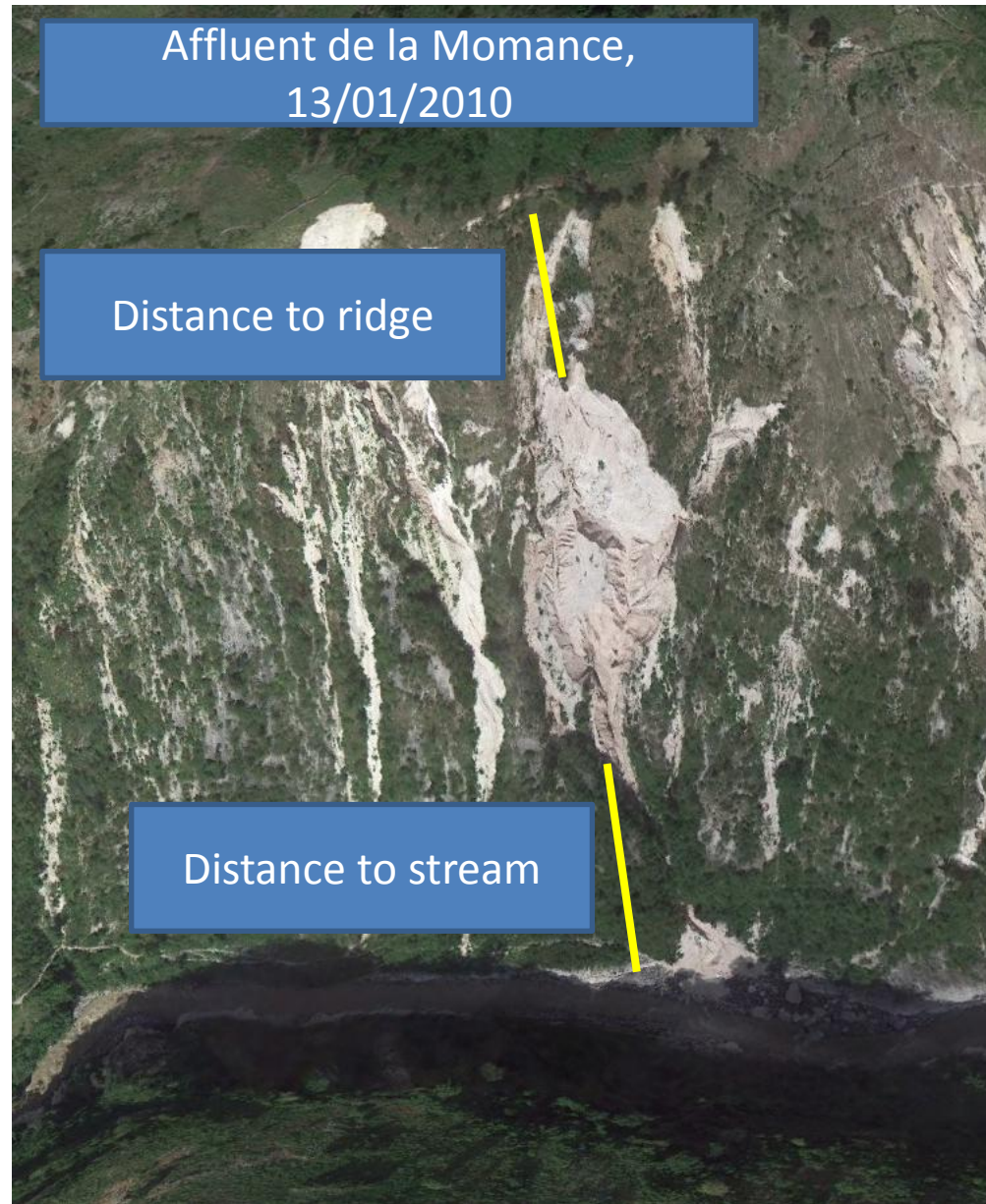
# Earthquake induced landslides

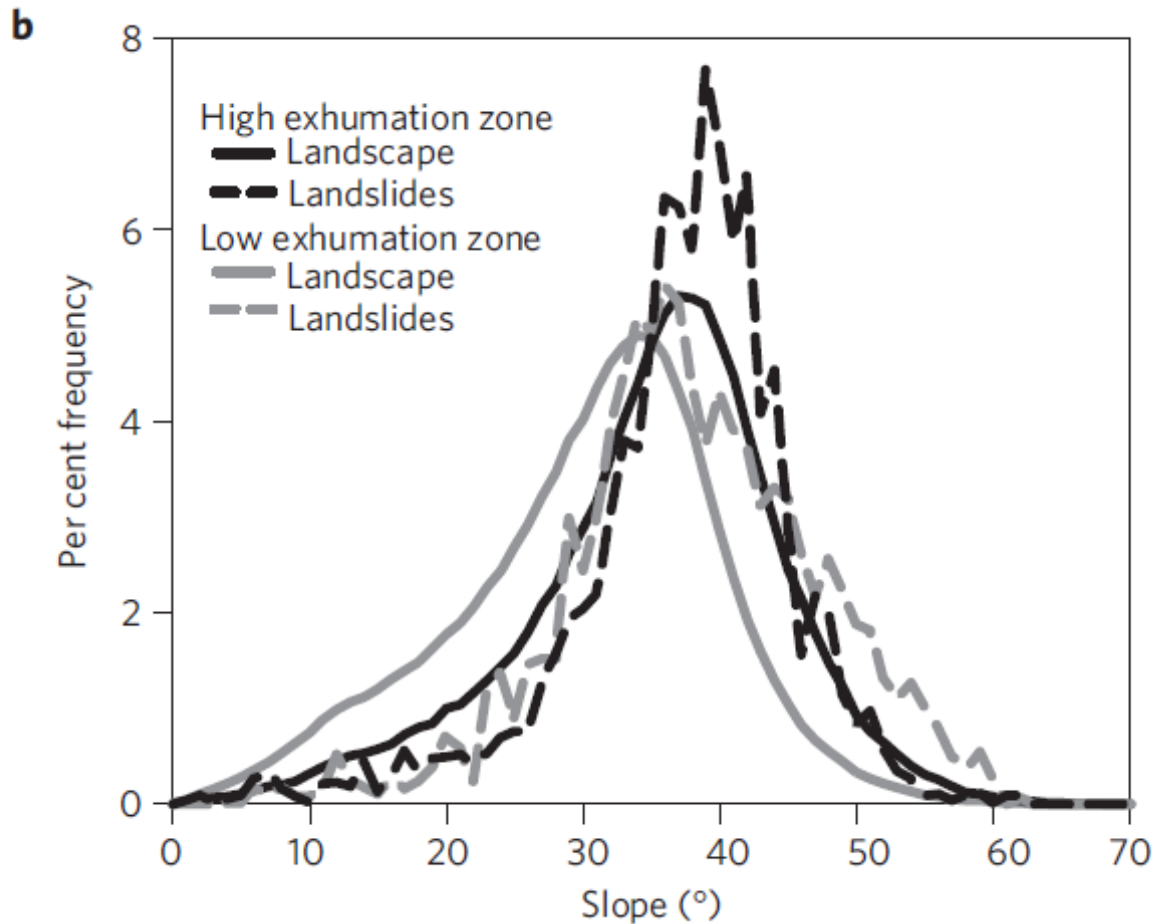


# Rain induced landslides



(Meunier et al, 2008)





Quelque soit le mécanisme initiateur, les glissements de terrain se produisent pour des pentes comprises entre 30 et 40° et donc maintiennent des pentes comprises entre 30 et 40°

# Les rivières : transport et incision



Incision  $\zeta$

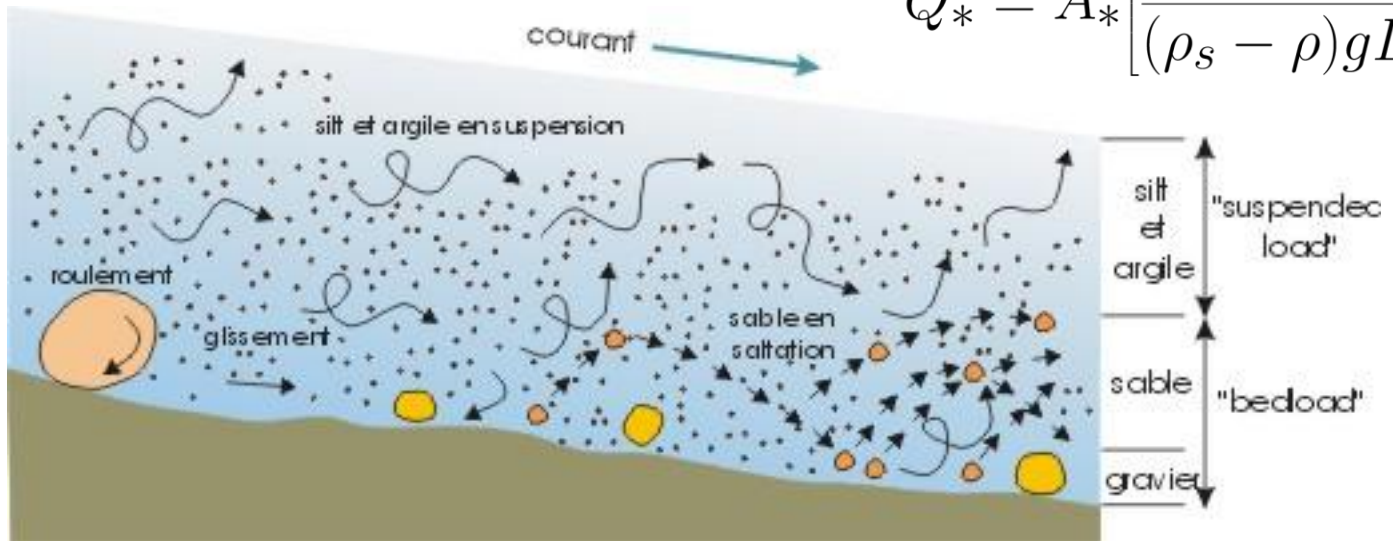
Vallée de Vieux Habitants



# Le transport mécanique

Transport : phénomène à seuil !

$$Q_* = A_* \left[ \frac{\tau - \tau_{kr}}{(\rho_s - \rho)gD} \right]^{\frac{3}{2}}$$



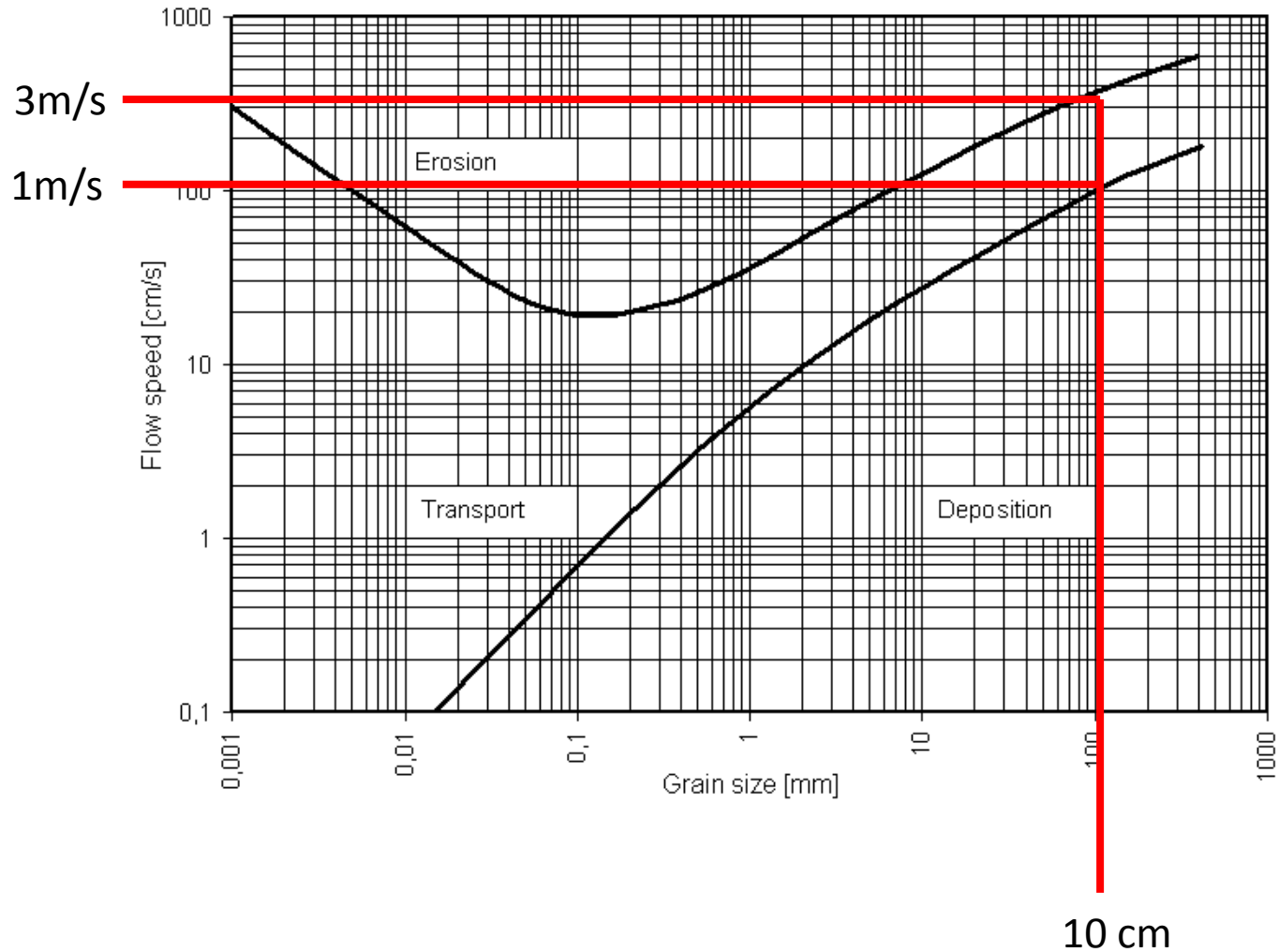
Transport en charge de fond



Transport en suspension



# Diagramme de Hujstrom





?

2010.01.11



?!!!

La densité du fluide compte aussi.....

Lahar de la rivière du Prêcheur, Martinique –  
Arrivée de la vague à 3 minutes





# Rivières à fond rocheux - incision



# Bedrock Channels

---

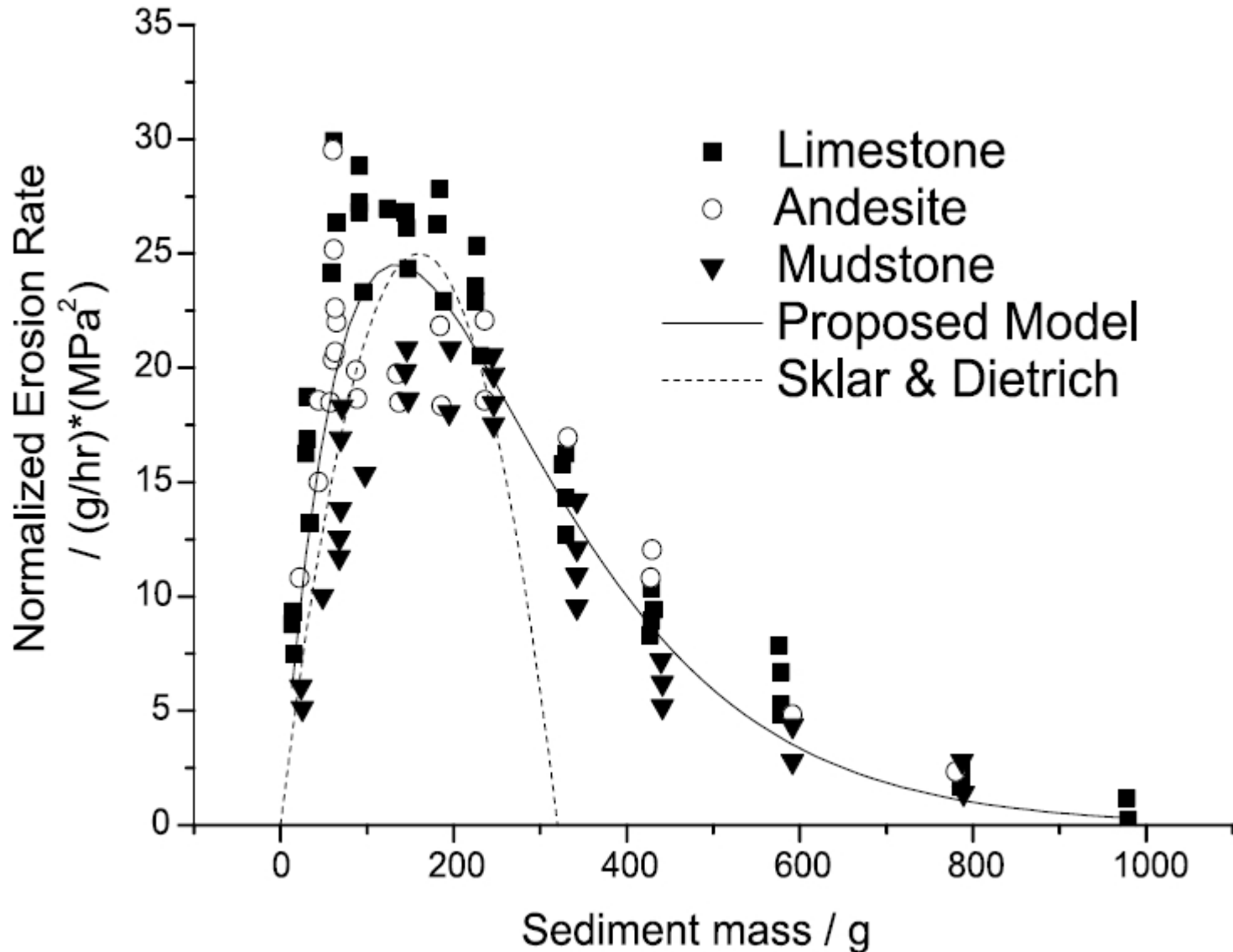


# Bedrock Channels

---

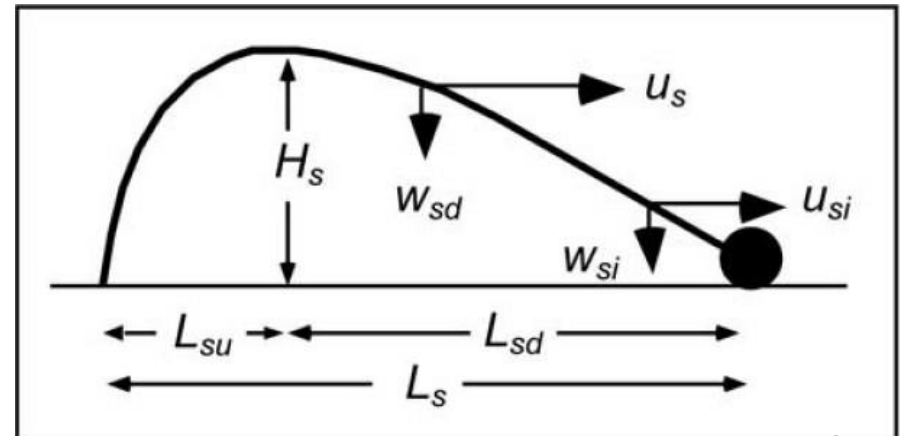
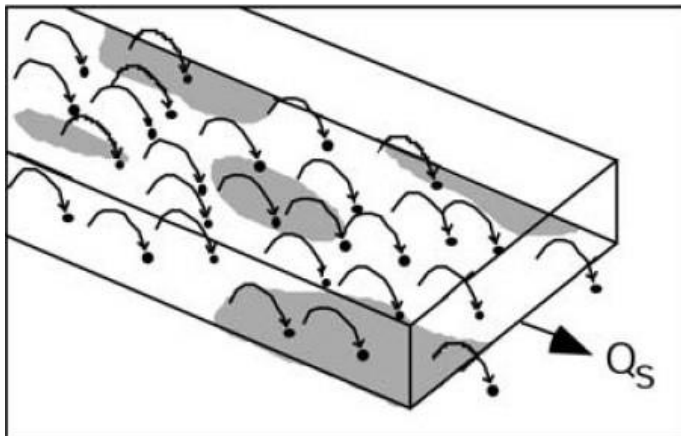
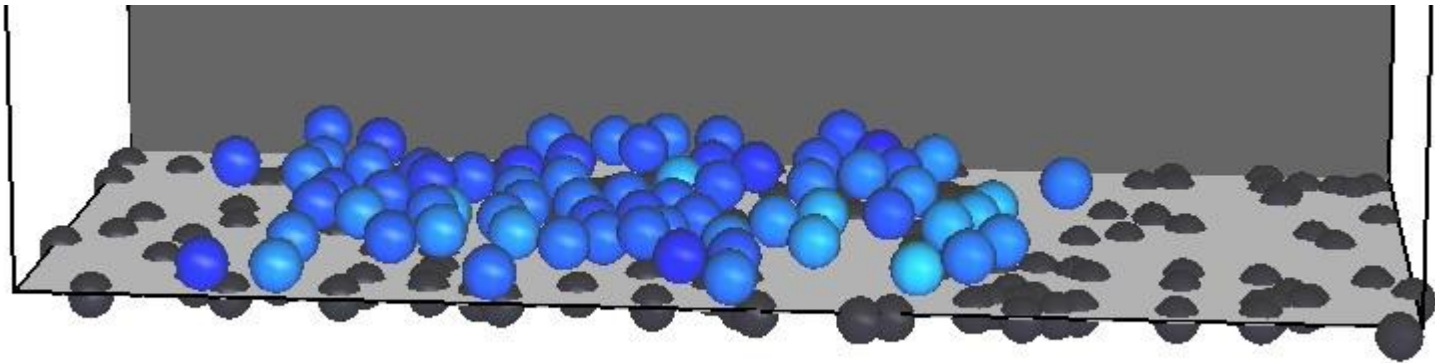


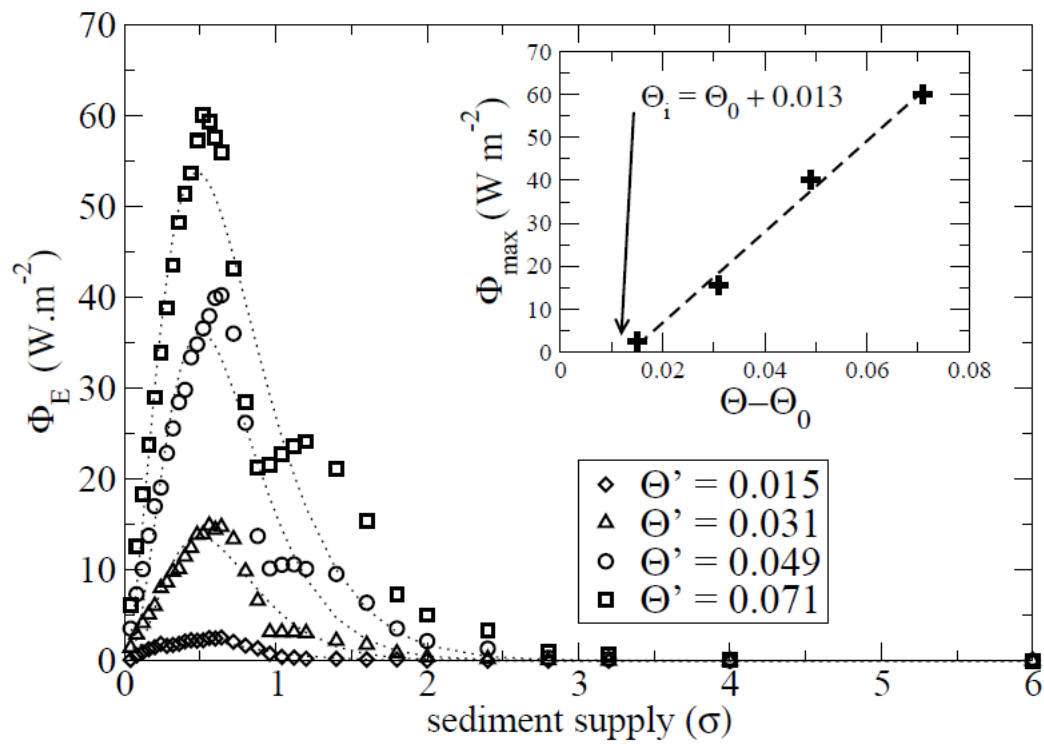
# Galet Outil - Galet Couverture ?



# Effet outil – effet couverture

Modèle numérique de l'effet outil

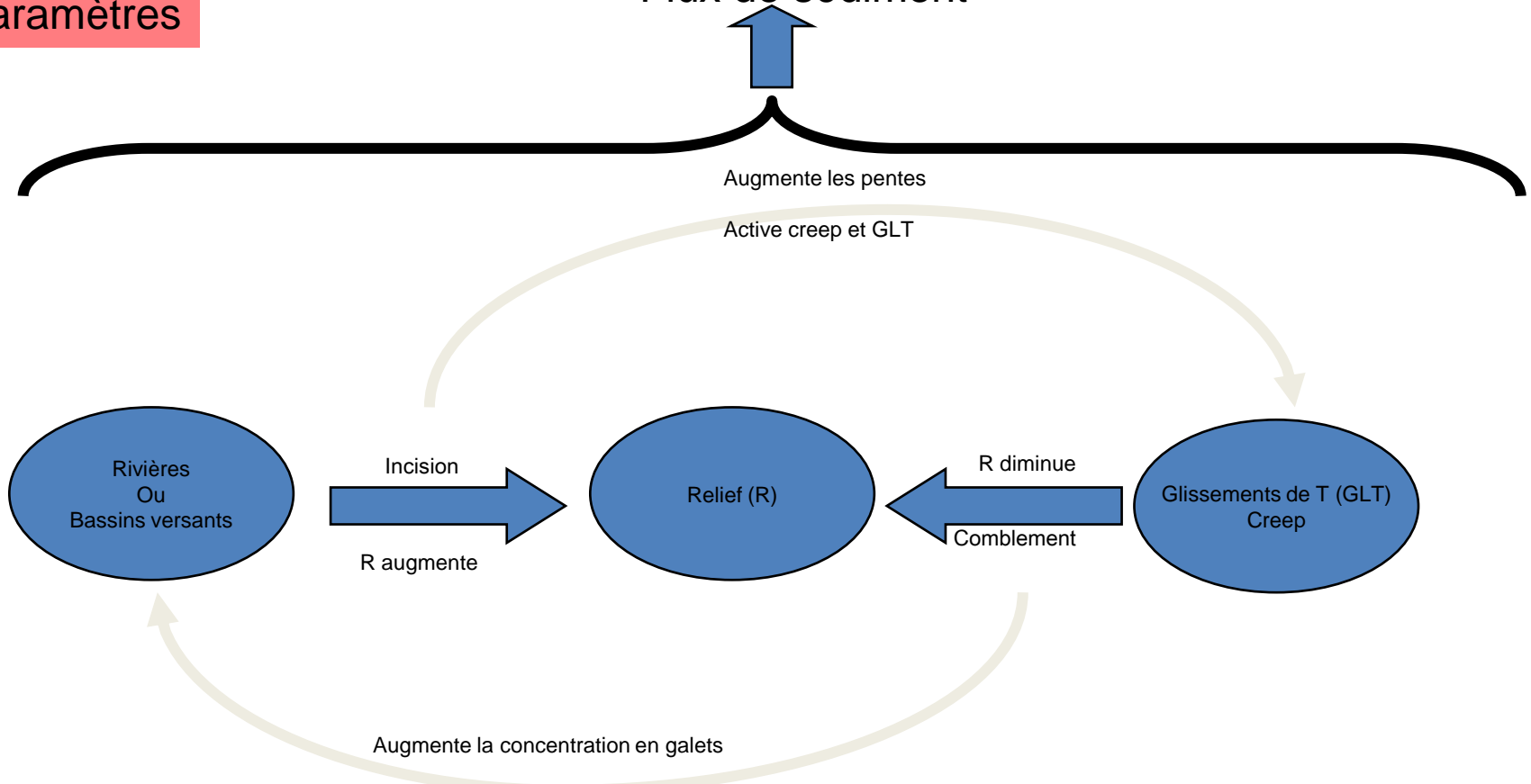




Aubert et al, in press

# Paramètres

## Flux de sédiment



### Rivières

- Granulométrie, % de couverture
- Débit
- Largeur, profondeur, longueur, aire drainée
- Pente
- Nb de tributaires (ordre)

### Bassins Versants

- Altitude moyenne, pente moyenne,
- Surface, rapport d'aspect

- $\square < 1$  feed back + favorise l'incision
- $\square > 1$  feed back – empêche l'incision (cover effect)

### Glissements de Terrain

- Volumes, vitesse, pente, épaisseur, lithologie

### Sol

- Épaisseur, vitesse de formation,
- vitesse d'érosion, vitesse de creep

### Végétation

- prof enracinement, hauteur de la canopée,
- âge

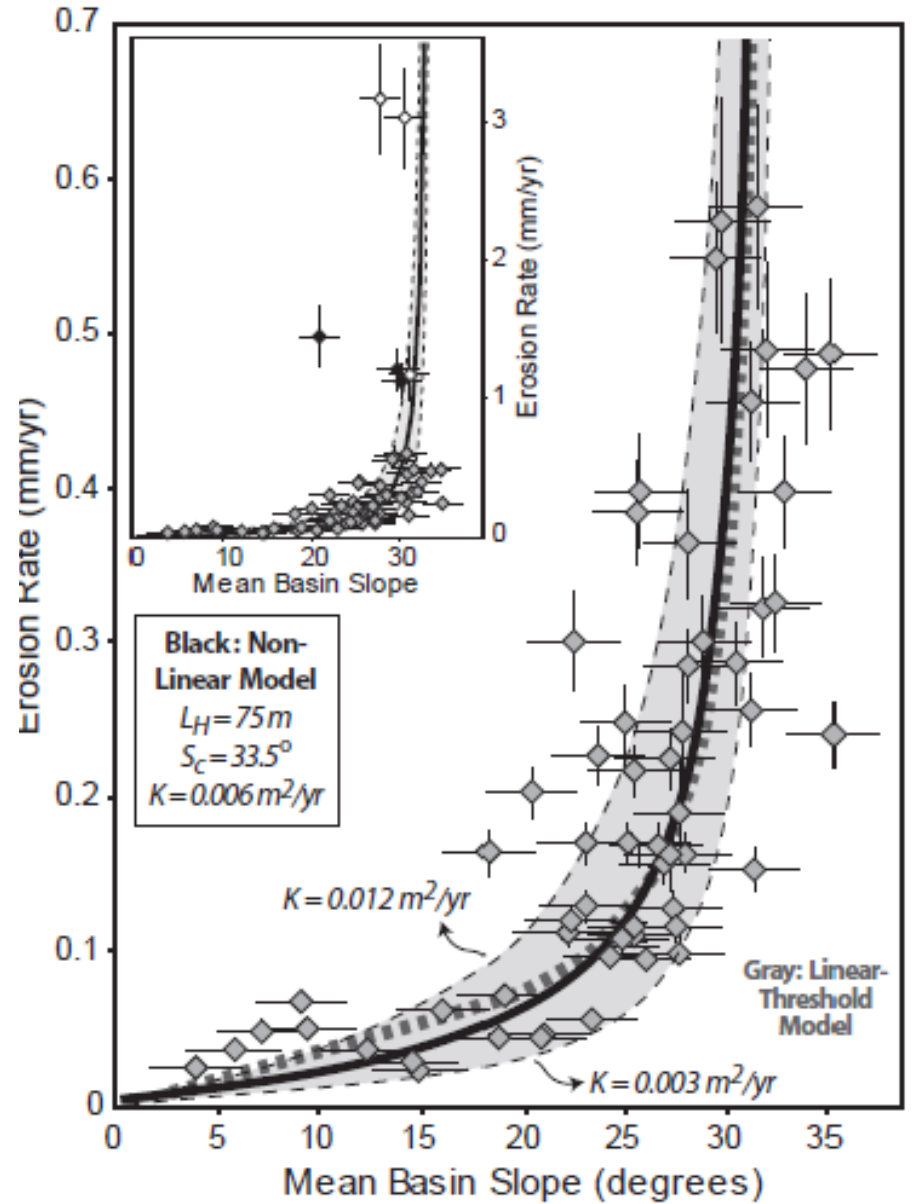
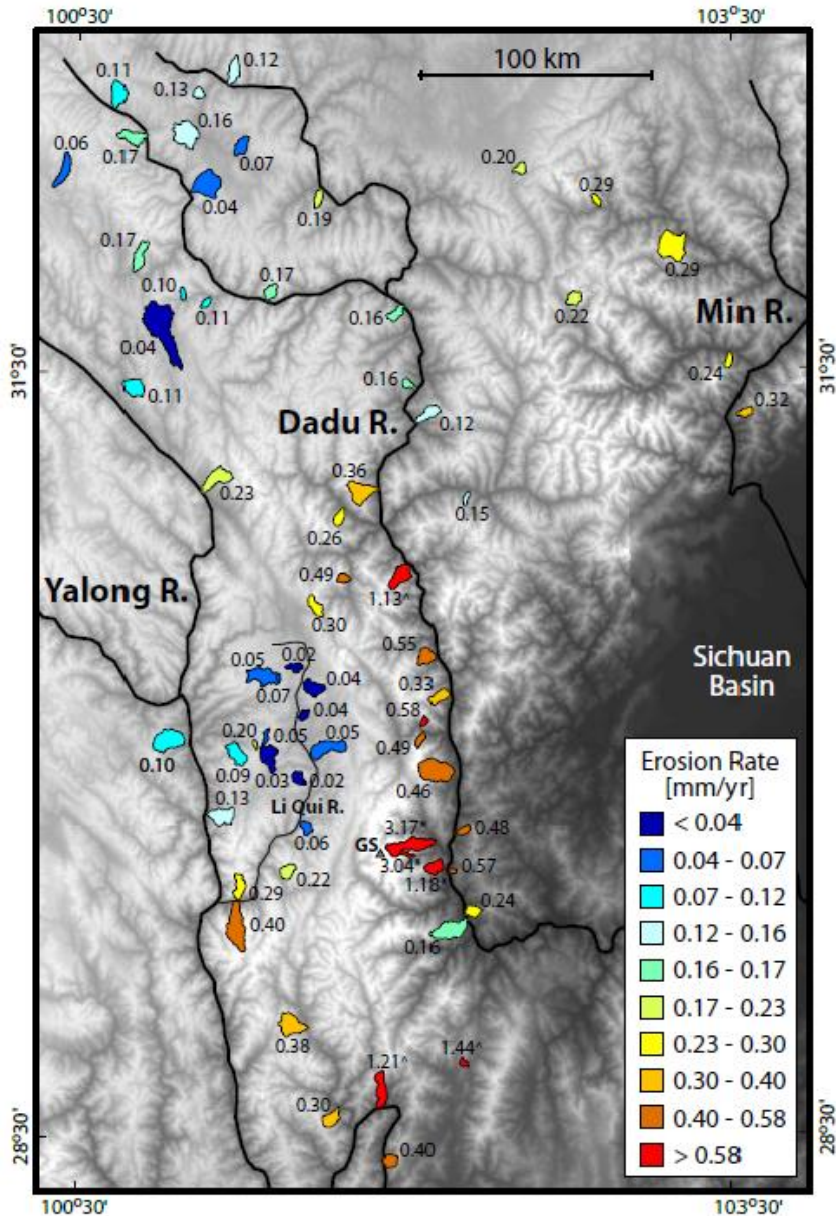
### Climat

- Température, pluviométrie, rose des vents

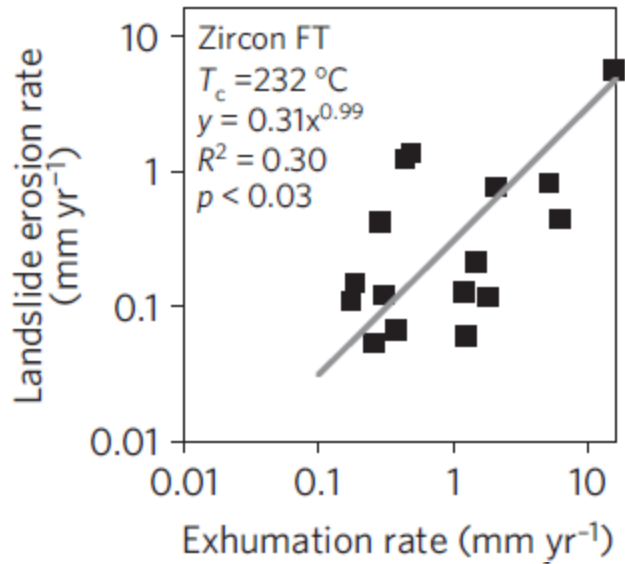
### Météorologie

- Pluviométrie, rose des vents

# Récapitulation



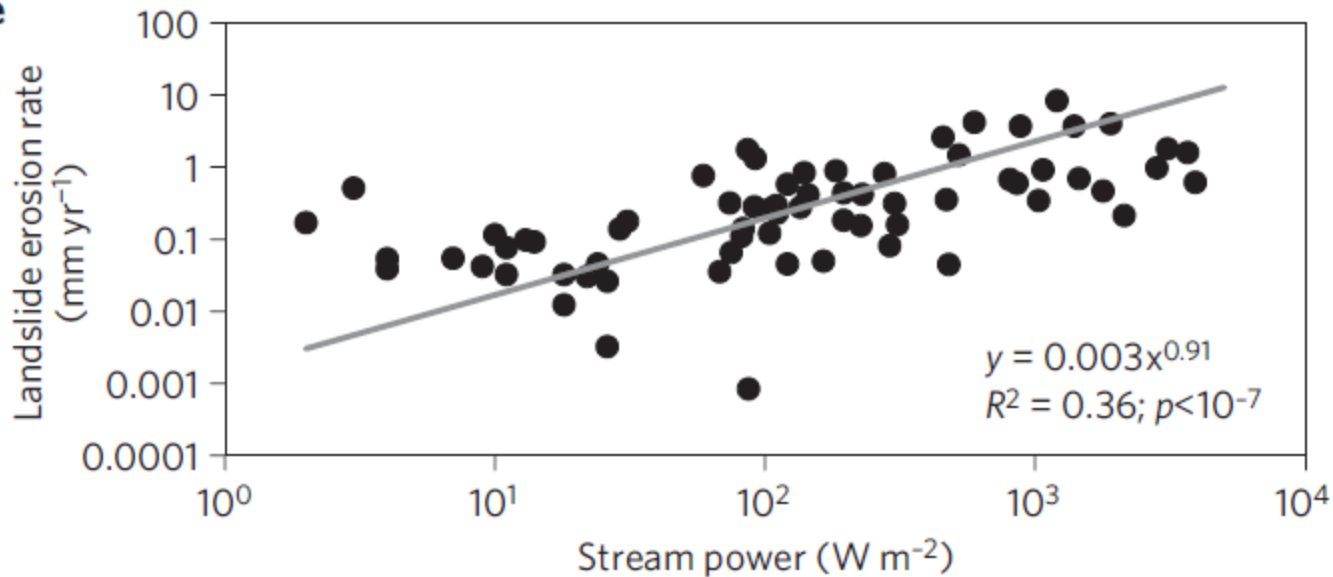
c



Landslide erosion rate versus exhumation rate and stream

Ces corrélations suggèrent un couplage entre les glissements, les vitesses d'exhumation et l'incision de la rivière.

e



# La Tectonique et le Climat



# Le Tibet

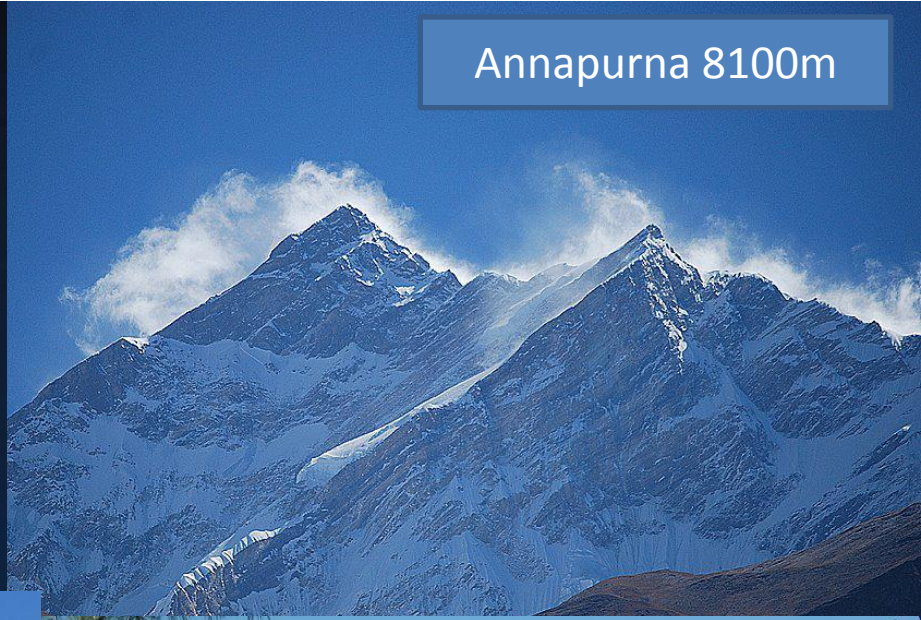


# L'Himalaya

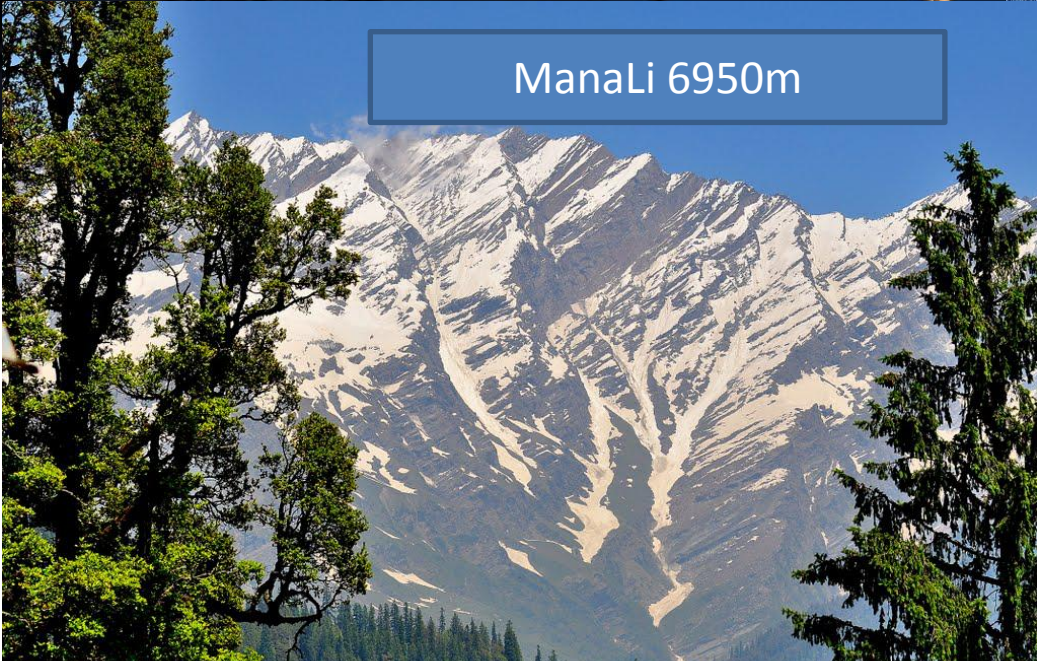
Dorge Lapka 6950m



Annapurna 8100m



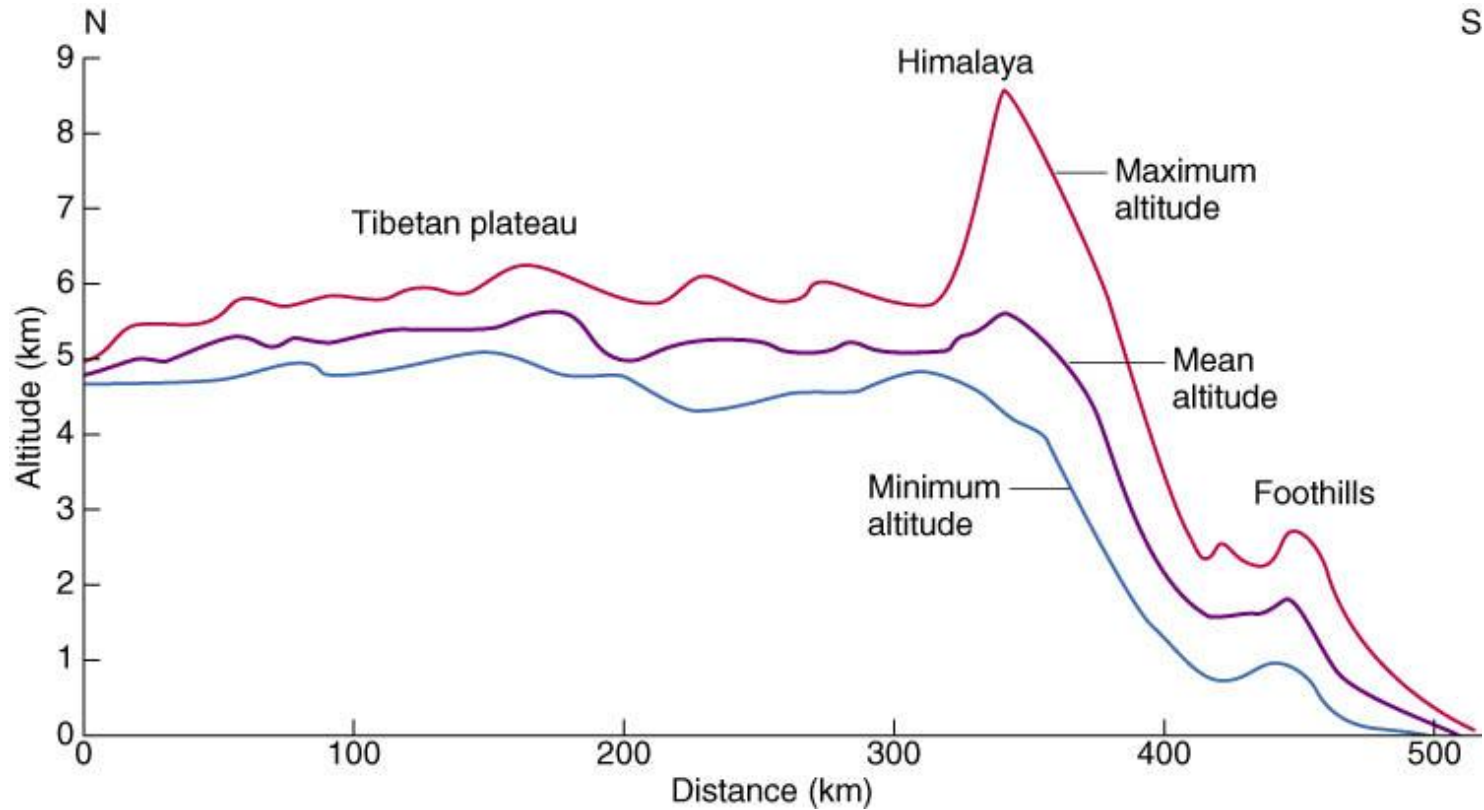
ManaLi 6950m



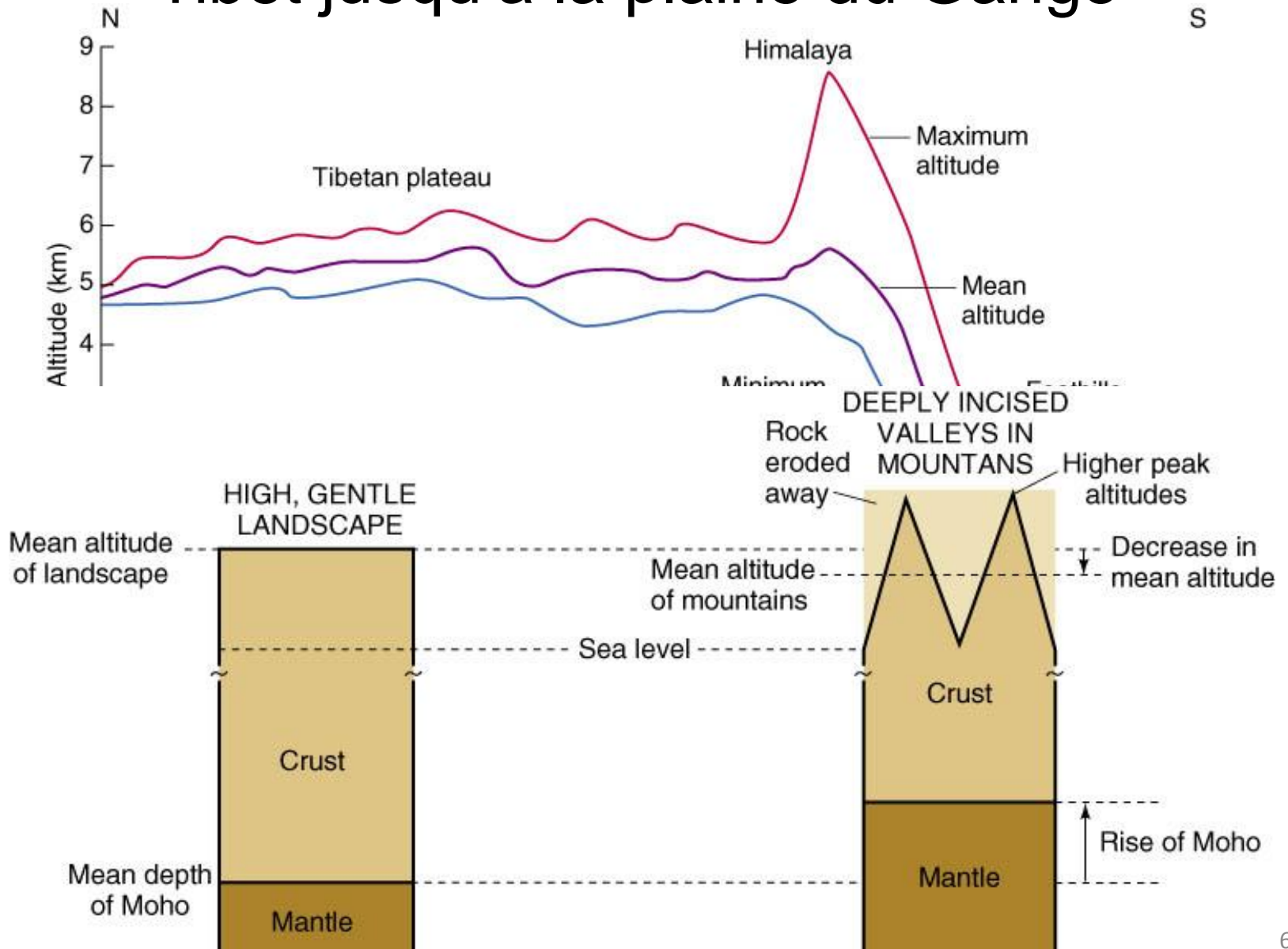
Idrassan 6660 m

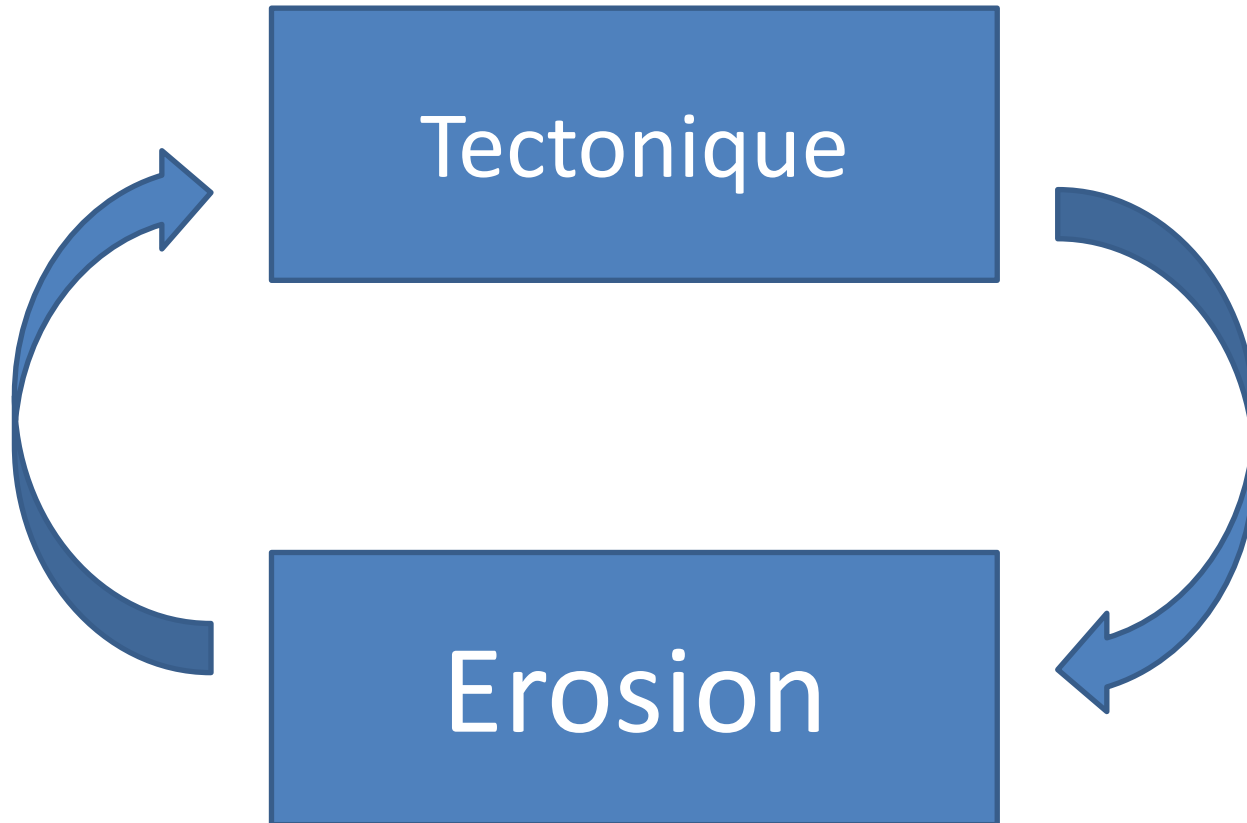


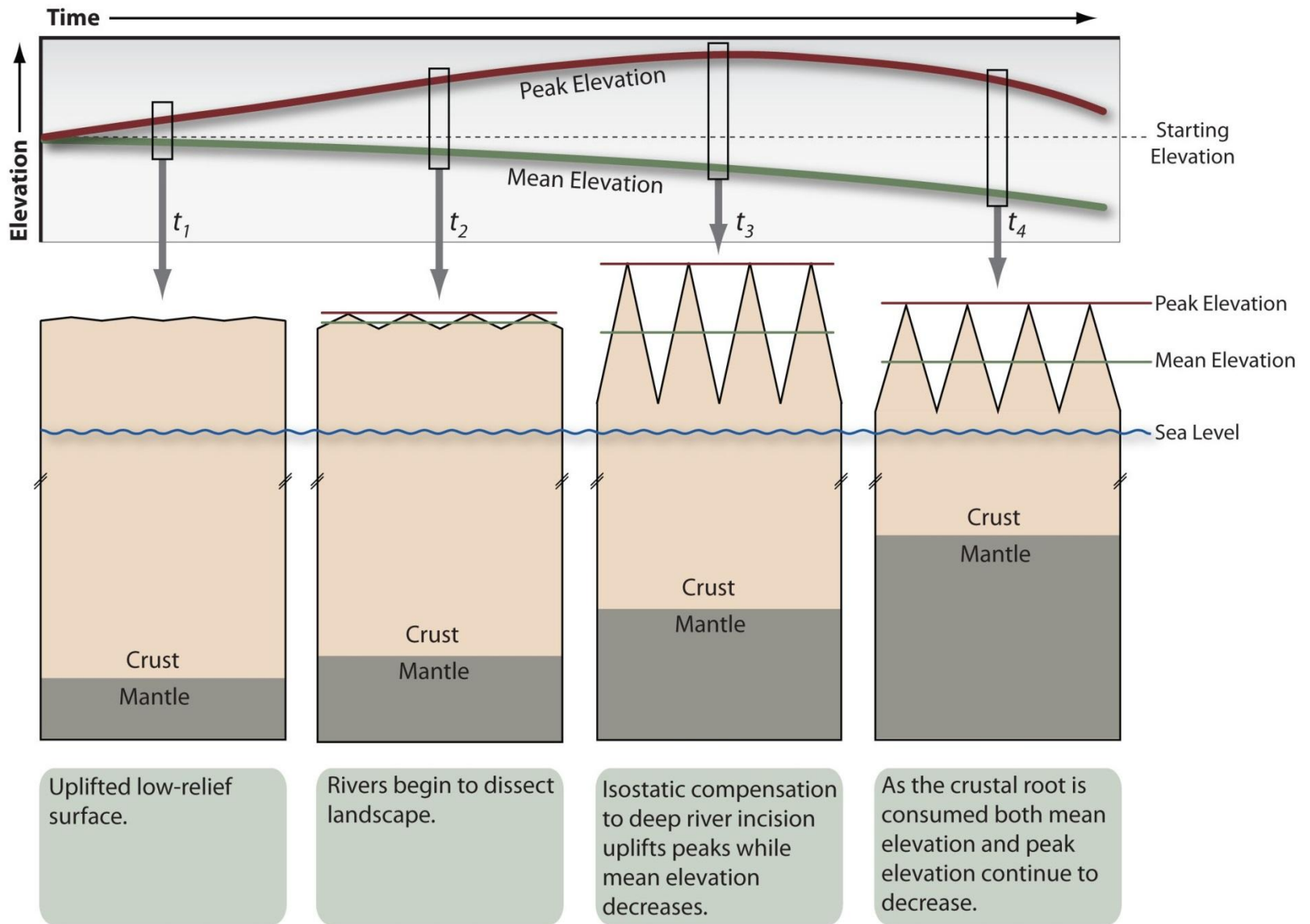
# Distribution des altitudes depuis le plateau du Tibet jusqu'à la plaine du Gange



# Distribution des altitudes depuis le plateau du Tibet jusqu'à la plaine du Gange







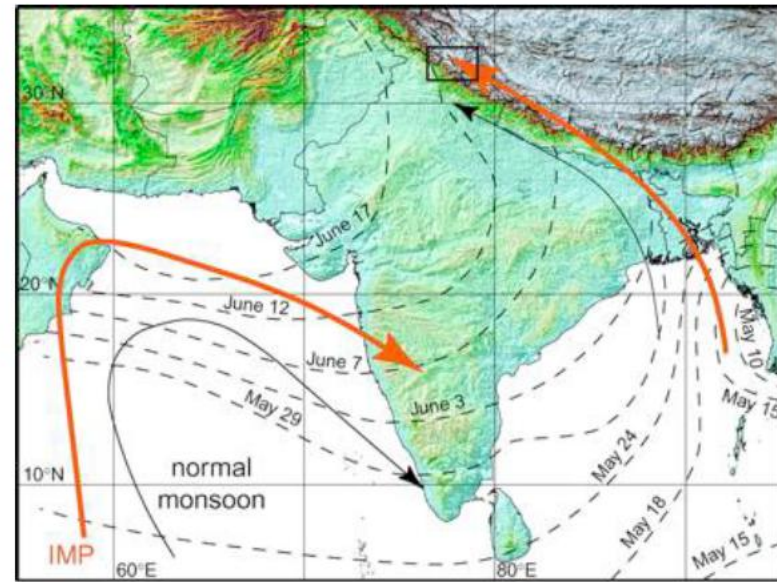
# Le climat



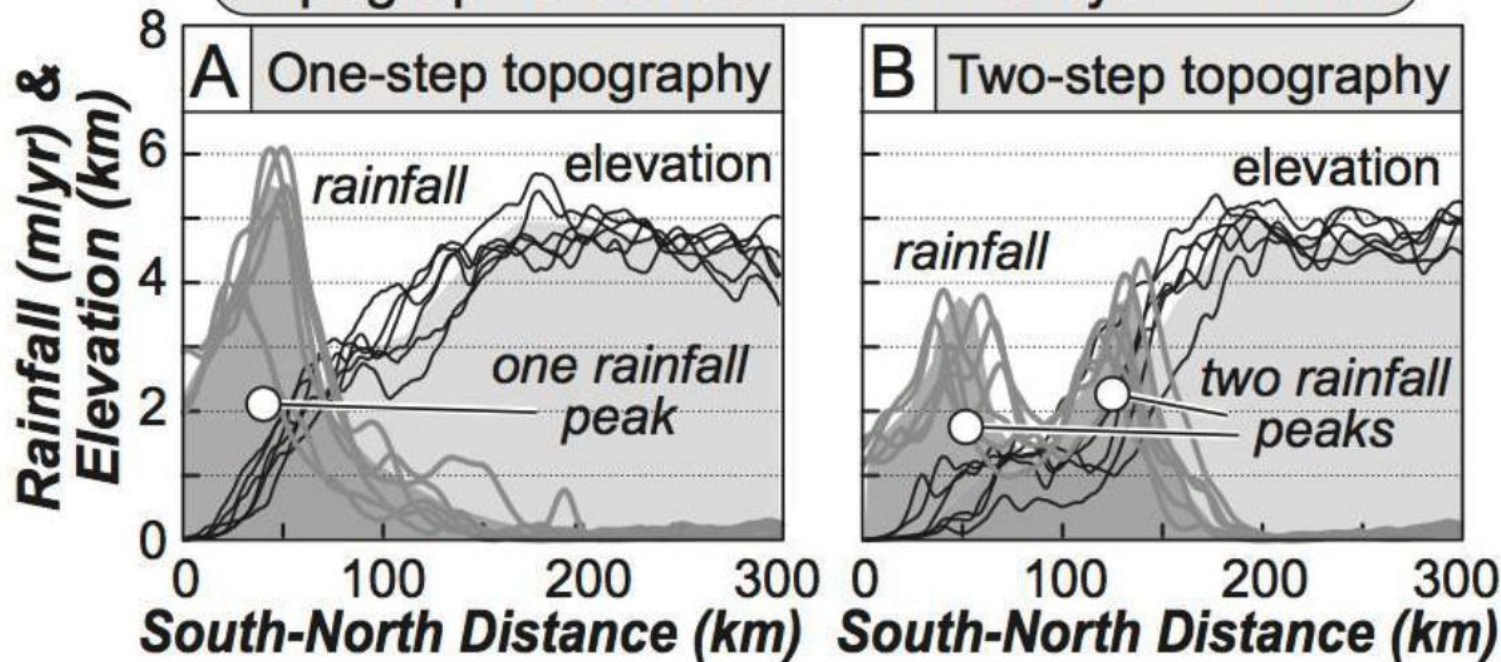
# Climate and tectonics

Example : summer monsoon in the **Himalayas**

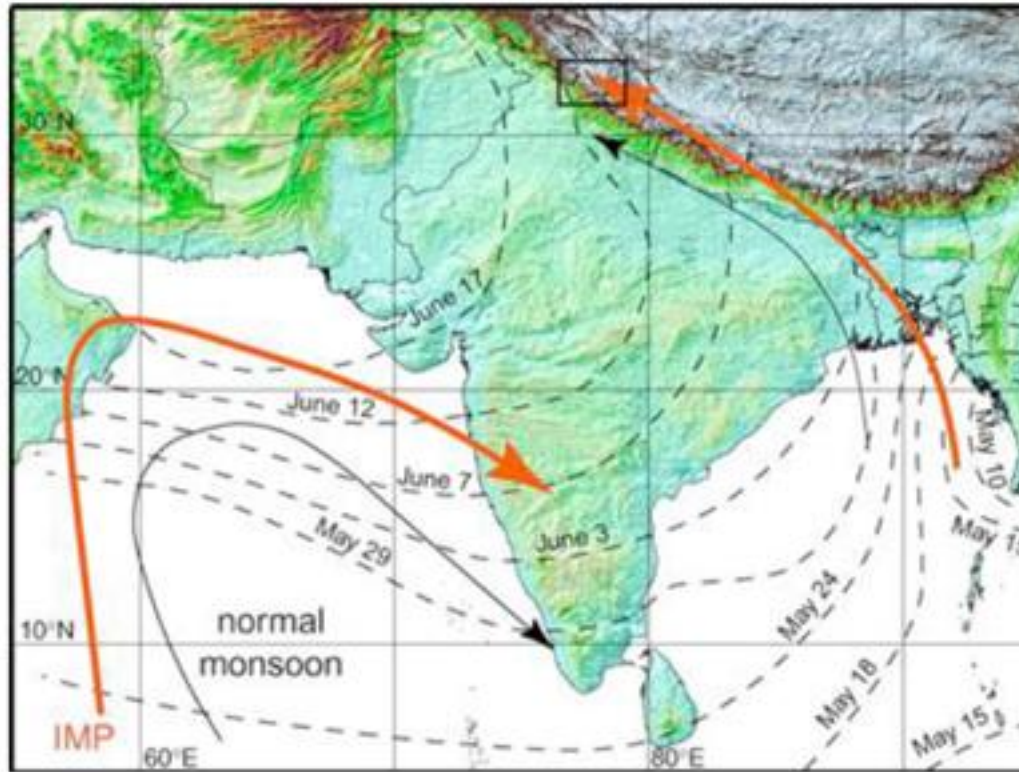
Monsoon rainfall produces a peak associated with each topographic step

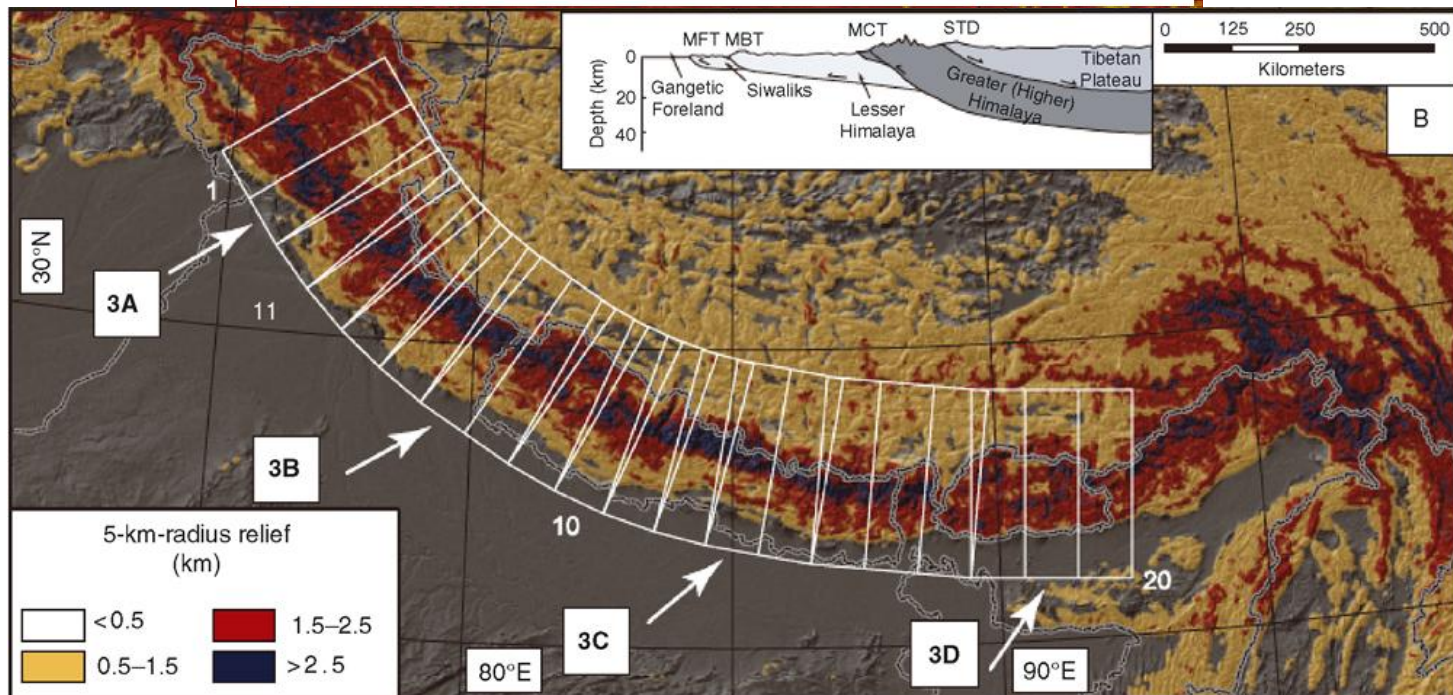
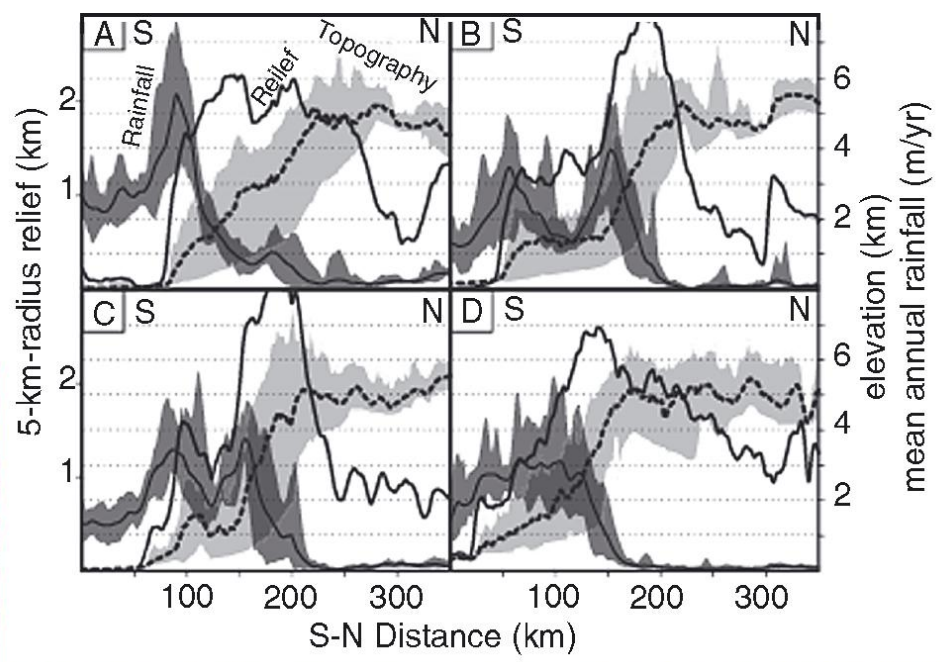


## Topographic Controls on Himalayan Rainfall

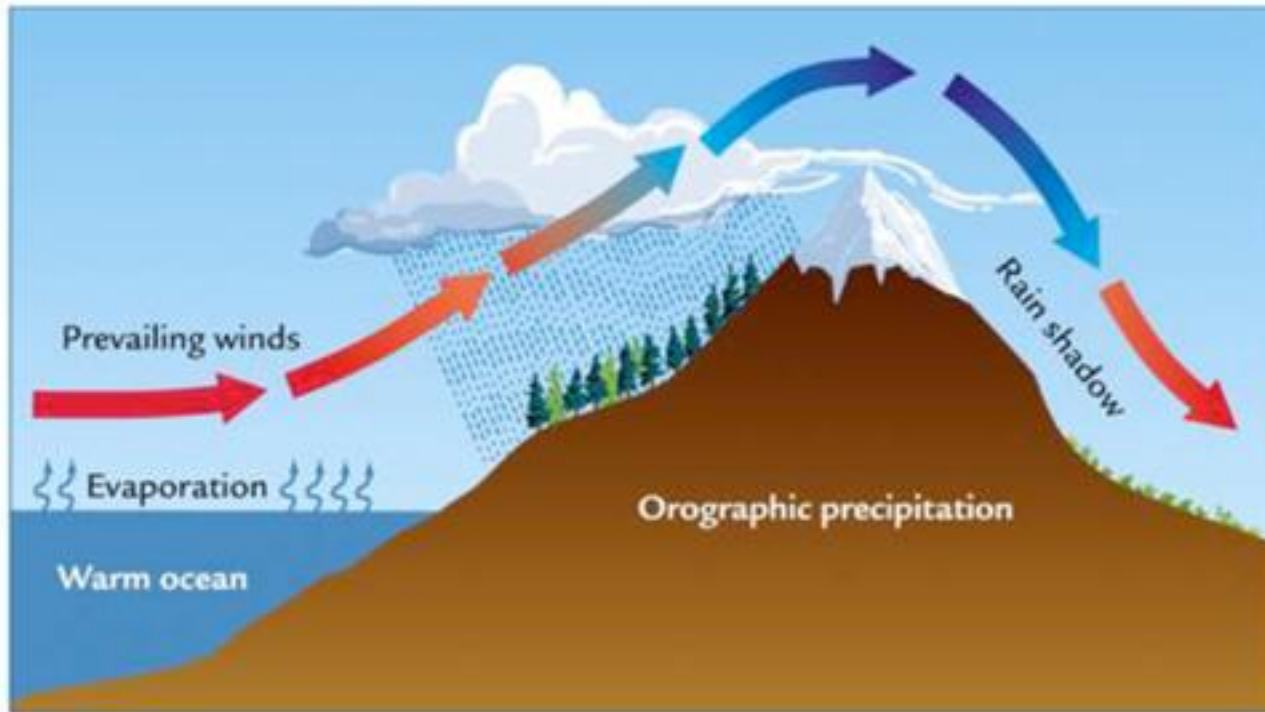


# La Mousson



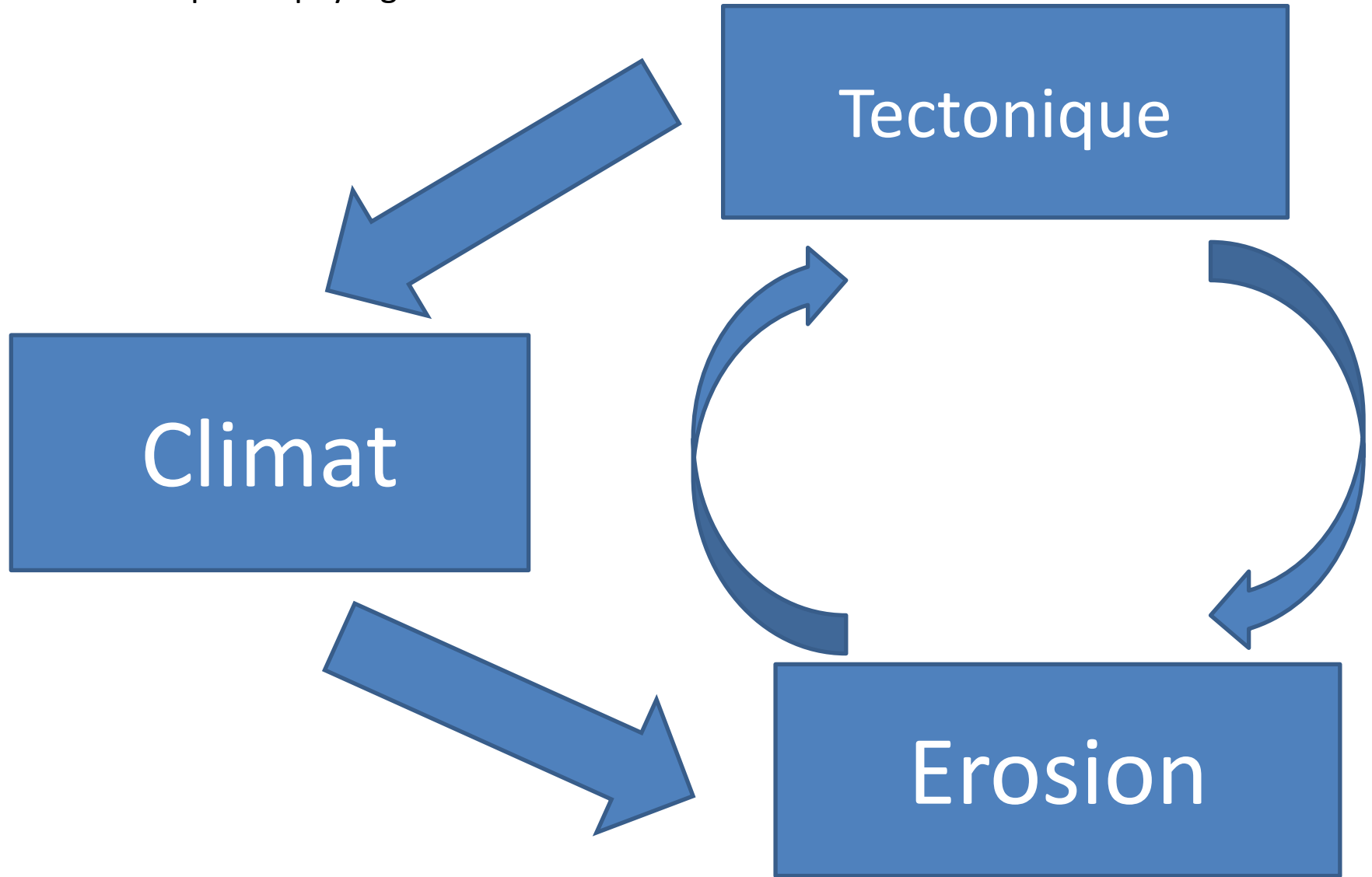


(Bookhagen & Burbank, 2006)



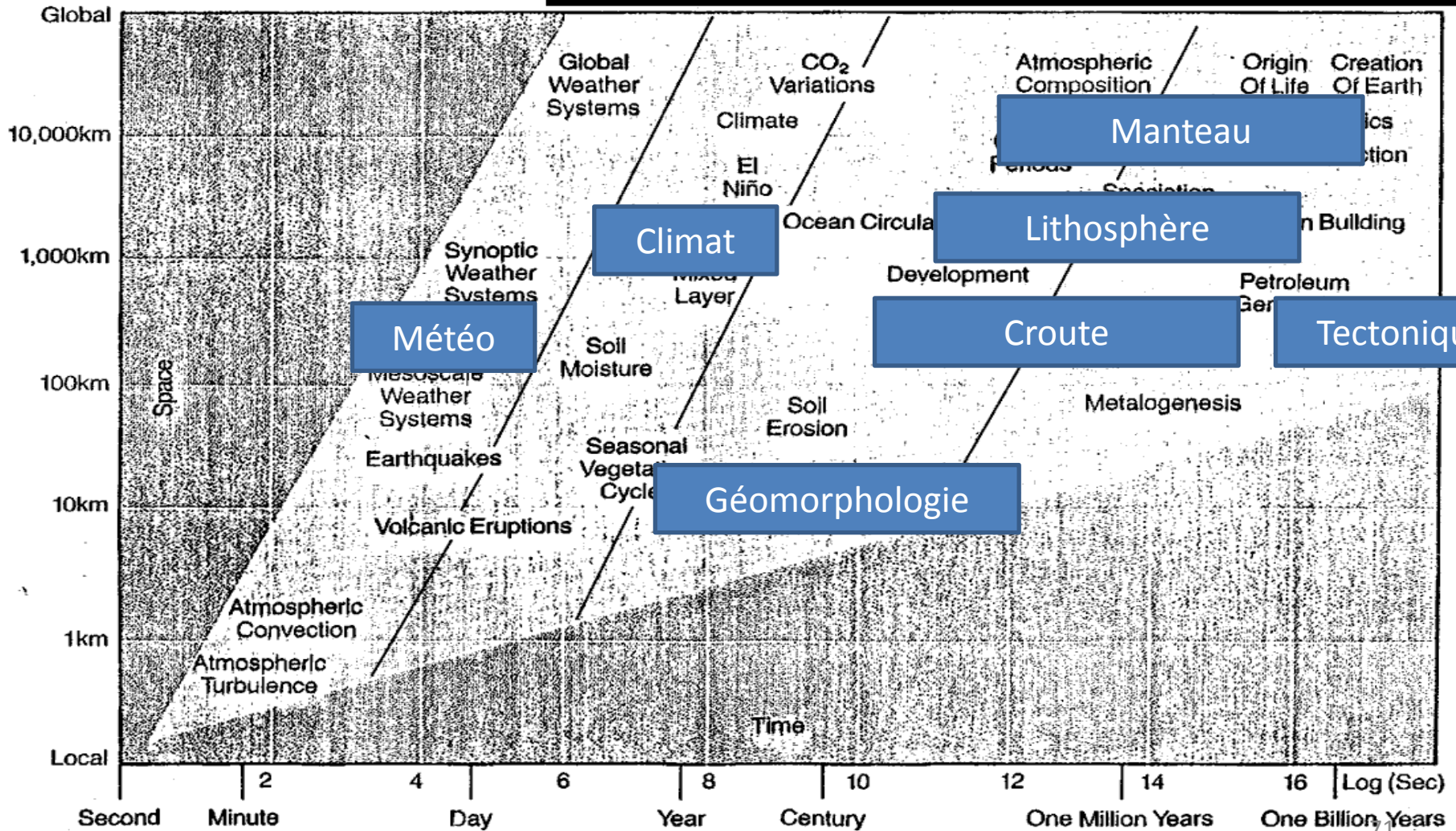
Burbank et al., 2003

La Mécanique du paysage.....



# Conclusions

Figure 1. EARTH SYSTEM PROCESSES: CHARACTERISTIC SPACE AND TIME SCALES



# Conclusion - Récapitulation

- Processus de versant : ils tendent à produire des versant à 30°
- Les rivières : en fonction de la quantité de sédiment -> transport ou incision
- Rétroaction processus de versants et rivières
- Tectonique et érosion sont couplées
- Le rôle du climat.....

# Perspectives..... Le rôle de l'homme.....

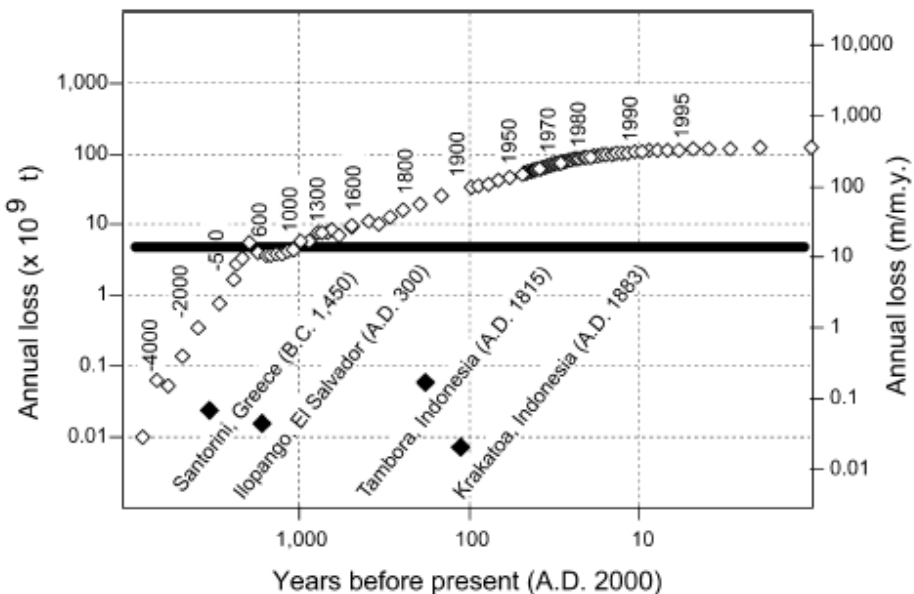


Figure 3. Historical rates of anthropogenic erosion (open diamonds) from data in Hooke (2000a). For comparison, solid black diamonds are volumes of several large volcanic eruptions (dates in parentheses); heavy black line is mean deep-time denudation rate of 24 m/m.y. determined from Figure 2.

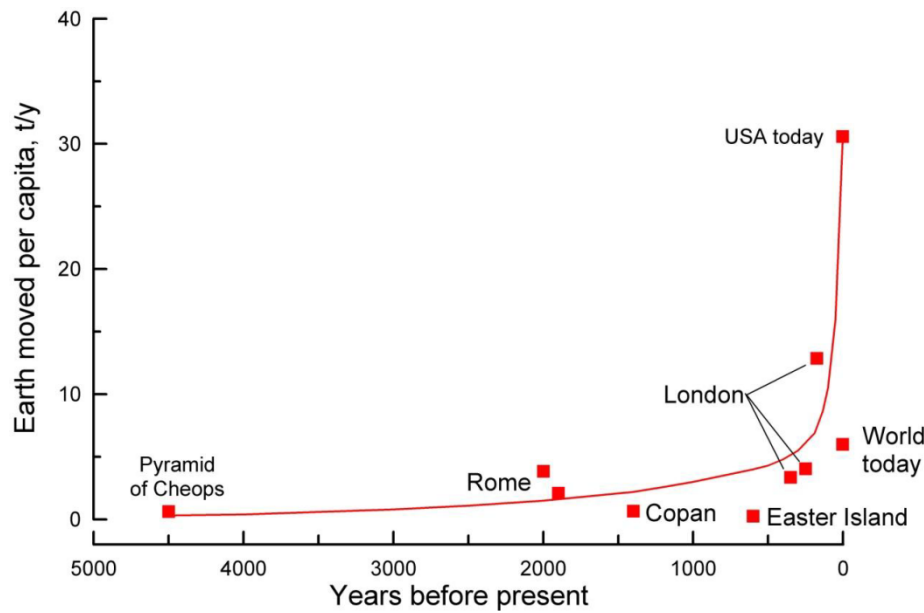


Table 1.1 Annual rates of erosion in selected countries ( $\text{t ha}^{-1}$ )

|             | Natural  | Cultivated | Bare soil |
|-------------|----------|------------|-----------|
| China       | 0.1–2    | 150–200    | 280–360   |
| USA         | 0.03–3   | 5–170      | 4–9       |
| Australia   | 0.0–64   | 0.1–150    | 44–87     |
| Ivory Coast | 0.03–0.2 | 0.1–90     | 10–750    |
| Nigeria     | 0.5–1    | 0.1–35     | 3–150     |
| India       | 0.5–5    | 0.3–40     | 10–185    |
| Ethiopia    | 1–5      | 8–42       | 5–70      |
| Belgium     | 0.1–0.5  | 3–30       | 7–82      |
| UK          | 0.1–0.5  | 0.1–20     | 10–200    |

Sources: Browning et al. (1948), Roose (1971), Fournier (1972), Lal (1976), Bollinne (1978), Jiang et al. (1981), Singh et al. (1981), Morgan (1985a), Boardman (1990), Edwards (1993), Hurni (1993).

